

Oggetto

RELAZIONE DIMENSIONAMENTO IMPIANTO IDROELETTRICO

Fiume Marta (VT)

Corso

STRUTTURE IDRAULICHE

Ingegneria per la protezione del territorio dai rischi naturali

Docente

Prof. Guido Calenda



Studenti

**Berti Andrea
Campolese Mattia
Cianfanelli Marco**

Anno

2007 / 2008

Sommario

Input di progetto.....	2
Localizzazione.....	2
Dati di progetto.....	3
Dimensionamenti.....	4
Condotta.....	4
Diametro.....	4
Spessore minimo.....	5
Perdite di carico.....	5
Turbina.....	6
Scelta della turbina.....	6
Diametro della turbina.....	7
Diametro del getto.....	7
Pale.....	7
Verifica dell'efficienza.....	8
Verifiche.....	9
Colpo d'ariete.....	9
Equazioni risolutive.....	9
Chiusura graduale.....	10
Chiusura istantanea.....	11
Metodo grafico Schneider Bergeron.....	12
Pozzo piezometrico.....	14
Equazioni risolutive.....	16
Senza camera.....	16
Con camera.....	22
Con dissipatore.....	38
Confronto tra le soluzioni.....	46

Input di progetto

Localizzazione

L'impianto idroelettrico è costituito da una vasca di carico dalla quale si dirama una condotta monodiametro fino ad una turbina che restituisce l'acqua nel fiume Marta, unico emissario del lago di Bolsena che scorre in provincia di Viterbo.

Il posizionamento del serbatoio d'accumulo per un impianto risulta assolutamente una decisione strategica fondamentale ai fini del buon rendimento dell'impianto stesso. In particolare questa scelta influenza la lunghezza delle condotte di mandata ed il carico utile del sistema. La nostra centrale posizionata sul fiume Marta si inserisce in un contesto geografico tale da non offrire grandissimi salti tanto che il punto da noi ritenuto ottimale presenta un dislivello di circa 95 m. La disposizione delle condotte invece è stata molto più agevole poiché si è andata a sistemare lungo la scarpata che immediatamente adiacente al serbatoio, minimizzando così la lunghezza del percorso.

L'impianto è infatti situato nei pressi del congiungimento tra il fiume Marta e il fiume Traponzo, suo affluente:

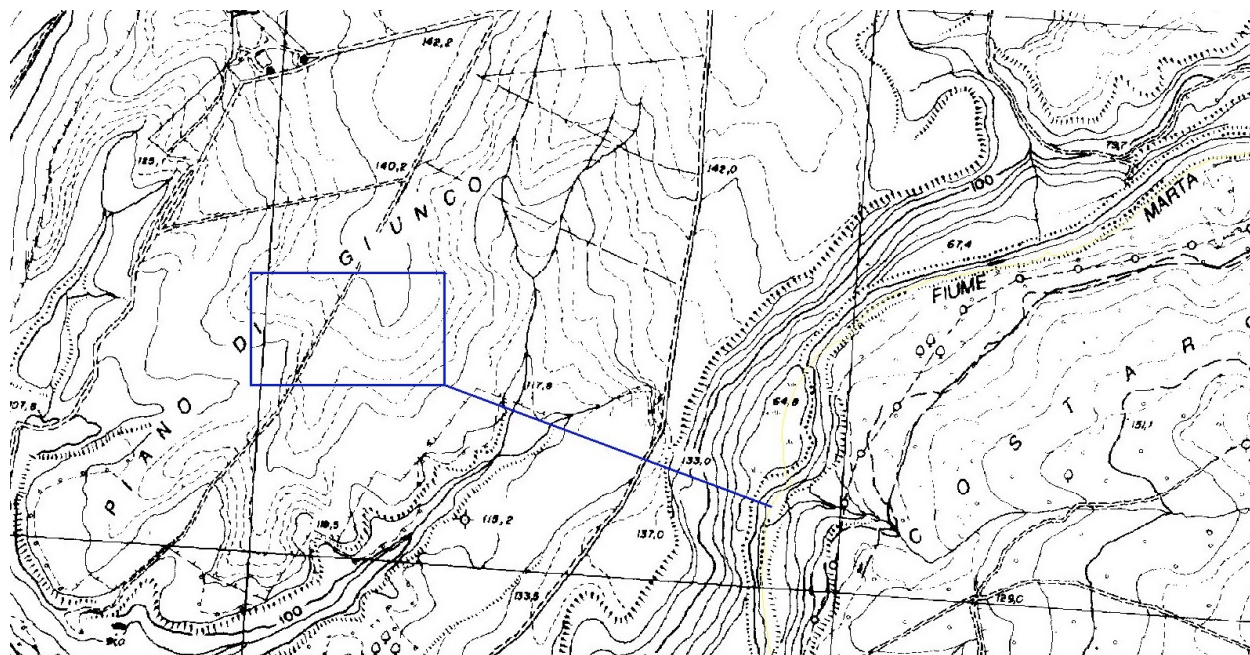


Fig. 1: Localizzazione su carta topografica vasca di carico e condotta

Dati di progetto

Si assume che la vasca di carico abbia sempre disponibilità d'acqua (come se fosse alimentata da un fiume esistente nella zona indicata); inoltre in seguito al posizionamento effettuato si hanno i seguenti dati di progetto:

<i>Quota di monte vasca</i>	<i>141 m</i>
<i>Quota di valle ricettore</i>	<i>46 m</i>
<i>Dislivello (Δh)</i>	<i>95 m</i>
<i>Portata (Q)</i>	<i>0,6 m³/s</i>

Tabella 1: Dati vasca di carico

<i>Lunghezza</i>	<i>140 m</i>
<i>Materiale</i>	<i>Acciaio FE430</i>
<i>Modulo elastico (E)</i>	<i>1,962 x 10¹¹ N/m²</i>
<i>Resistenza caratteristica a snervamento (f_{yd})</i>	<i>275 MPa</i>
<i>Coefficiente di Manning per tubi usati</i>	<i>0,016 m^{1/3}/s</i>
<i>Densità acqua (ρ)</i>	<i>1000 kg/m³</i>
<i>Comprimibilità acqua (α)</i>	<i>5,117 x 10⁻¹⁰ m³/N</i>
<i>Modulo elastico acqua (E_a)</i>	<i>1954183267 N/m²</i>
<i>Coefficiente di contrazione (C_c)</i>	<i>0,67</i>
<i>Coefficiente di efflusso (μ_0)</i>	<i>0,97</i>

Tabella 2: Dati condotta

<i>Tipologia</i>	<i>Pelton</i>
<i>Frequenza corrente</i>	<i>50 Hz</i>
<i>Numero di poli</i>	<i>8</i>

Tabella 3: Dati turbina

Dimensionamenti

Condotta

Diametro

Il dimensionamento della condotta forzata in pressione è stato effettuato imponendo la velocità pari a $U = 1 \text{ m/s}$ e calcolando il diametro secondo la relazione $D = \sqrt{\frac{4Q}{\pi U}}$.

Essendo $Q = 0,6 \text{ m}^3/\text{s}$, $D = 0,874 \text{ m}$.

Dalla seguente tabella dei diametri nominali per tubazioni in acciaio:

Diametro nominale DN mm	Diametro esterno specificato D mm	Serie A		Serie B		Serie C		Serie U	
		Spessore s mm	Massa lineica kg/m						
40	48,3					2,6	2,93		
50	60,3					2,9	4,11		
65	76,1			2,6	4,71	2,9	5,24		
80	88,9	2,6	5,53	2,9	6,15	3,2	6,76		
100	114,3	2,6	7,16	3,2	8,77	4,0	10,9		
125	139,7	2,9	9,78	3,6	12,1	4,5	15,0		
150	168,3	3,2	13,0	4,0	16,2	4,5	18,2		
200	219,1	4,0	21,2	5,0	26,4	5,9	31,0		
250	273	4,0	26,5	5,6	36,9	6,3	41,4		
300	323,9	4,0	31,6	5,9	46,3	7,1	55,5		
350	355,6	5,0	43,2	6,3	54,3	7,1	61,0		
400	406,4	5,0	49,5	6,3	62,2	7,1	69,9		
450	457	5,6	62,3	6,3	70,0	8,0	88,6		
500	508	5,6	69,4	6,3	77,9	8,8	108		
600	610	5,6	83,5	6,3	93,8	12,5	184		
		5,9	87,9						
700	711	6,3	109	7,1	123	12,5	215		
750	762	6,3	117	8,0	149	12,5	231		
800	813	7,1	141	8,0	159	12,5	247		
900	914	8,0	179	10,0	223	14,2	315		
1 000	1 016	8,8	219	10,0	248	14,2	351		
1 200	1 220							10,0	298
1 400	1 420							11,0	382
1 600	1 620							12,5	496
1 800	1 820							12,5	557
2 000	2 020							12,5	619
2 200	2 220							14,2	772
2 400	2 440							16,0	956
2 500	2 540							16,0	996
2 600	2 640							17,5	1 132
2 700	2 740							17,5	1 175

Tabella 4: Diametri nominali tubazioni acciaio

si è scelto un tubo DN 900 – Serie A, ovvero $D = 0,9 \text{ m}$ e spessore pari a $s = 8 \text{ mm}$.

Spessore minimo

Va verificato lo spessore minimo necessario per resistere alla pressione idrostatica agente più un contributo del 20% come indicato da normativa per stimare l'effetto dei fenomeni di moto vario:

$$P_{idro} = \rho g \Delta_h \quad \text{quindi } P. \text{ idrostatica} = 0,932 \text{ MPa e } P. \text{ di progetto} = 1,118 \text{ MPa}$$
$$P_d = P_{idro} \cdot (1,2)$$

Si utilizza la formula di Mariotte per il calcolo dello spessore, ponendo la tensione agente pari a quella ammissibile dell'acciaio $\sigma = f_{yd}$ pari in questo caso a 275 MPa:

$$s_{min} = \frac{P_d \cdot D}{2 f_{yd}} \quad \text{quindi } s_{min} = \mathbf{1,83 \text{ mm}} > s = 8 \text{ mm} \Rightarrow \text{VERIFICATO}$$

Perdite di carico

E' possibile ora stimare le perdite di carico distribuite della condotta tramite la relazione:

$$\Delta_h = J \cdot L \quad \text{con} \quad J = \frac{n^2 Q^2}{16 \pi^2 \cdot \left(\frac{D}{4}\right)^{16/3}}$$

quindi $J = 0,0017$ e $\Delta h = \mathbf{0,23 \text{ m}}$.

Turbina

Scelta della turbina

Allo sbocco si ha un getto la cui velocità è quella di efflusso torricelliana ricavabile dalla relazione $V = \mu \sqrt{2g(h - \Delta_h)}$ con μ coefficiente di contrazione pari a 0,98:

$$V = 0,98 * \text{sqrt}(2 * 9,81 * (95 - 0,23)) = 42,26 \text{ m/s}$$

Il numero di giri dell'alternatore dipende dalla frequenza della corrente ed il numero dei poli, ed è quindi pari a $\omega_a = \frac{60f}{p/2} = 750 \text{ giri/min}$.

Il numero di giri della turbina è pari a quello dell'alternatore se si considera, come in questo caso, il rapporto di riduzione "m" unitario: $\omega_t = \frac{\omega_a}{m} = 750 \text{ giri/min}$.

Il numero di giri caratteristico è il parametro di dimensionamento e verifica. E' pari a $\omega_c = \omega_t \frac{N^{1/2}}{H^{3/4}}$ con $N = \eta g Q H$ potenza effettiva della turbina; considerando un rendimento quasi unitario, si ha in questo caso $N = 558 \text{ KW}$ e $\omega_c = 59,9 \text{ giri/min}$.

Dalla seguente tabella si ricava il numero di giri caratteristici consigliato per diversi tipi di turbina:

tipo di turbina		salto	ω_c
Pelton	a un getto	> 800	> 13
		800 ÷ 400	13 ÷ 19
		400 ÷ 100	19 ÷ 26
	a due getti	800 ÷ 400	19 ÷ 26
		400 ÷ 100	26 ÷ 36
	a quattro getti	400 ÷ 100	36 ÷ 50
Francis	lentissime	400 ÷ 200	40 ÷ 50
	lente	200 ÷ 100	50 ÷ 90
	medie	100 ÷ 50	90 ÷ 150
	veloci	50 ÷ 25	150 ÷ 220
	ultraveloci	25 ÷ 15	220 ÷ 330
Eliche	velocissime	< 15	300 ÷ 370
Kaplan	medie	50 ÷ 15	200 ÷ 370
	veloci	< 15	370 ÷ 590
	velocissime	pochi metri	590 ÷ 800

Tabella 5: Numeri di giri caratteristici per il funzionamento ottimale di diversi tipi di turbina

In questo caso si è adottata una turbina **Pelton** ad un getto per un carico pari a circa 95 m. Il ω_c calcolato precedentemente è risultato però troppo elevato, pertanto si è scelto di considerare 2 turbine a 2 getti e un rapporto di riduzione m pari a **1,5**.

Si ha quindi $\omega_t = 750/1,5 = 500 \text{ giri/min}$.

La relazione per ω_c si trasforma in
$$\omega_c = \omega_t \frac{\left(\frac{N}{n_g n_t}\right)^{1/2}}{H^{3/4}}$$
 e si ha

$\omega_c = 20$ giri/min, compatibile con le indicazioni in tabella.

Diametro della turbina

Per calcolare il diametro della ruota è necessario ricavare la velocità periferica della turbina, pari a $U = k_u \cdot V$ con $k_u = 0,46$ coefficiente che considera l'angolo tra il bordo di ingresso delle pale e la direzione del getto:

$$U_{\text{per}} = 0,46 * 42,26 = 19,44 \text{ m/s} .$$

Il diametro è ottenibile dalla relazione $D = \frac{60 U}{\pi \omega_t}$ e in questo caso $D = 0,742 \text{ m}$; è stato quindi scelto **D = 0,8 m**.

Diametro del getto

Va determinato il diametro del getto che colpisce le pale della turbina. Esso è espresso dalla relazione $d = 2 \cdot \sqrt{\frac{Q}{\pi n_t n_g V}}$:

$$d = 0,067 \text{ m} ; \text{ è stato quindi scelto } \mathbf{d = 0,07 \text{ m}} .$$

Considerando l'uso di 2 turbine ognuna con 2 getti la portata è suddivisa in distributori più piccoli del diametro della condotta, adottando quindi tubi **DN 650** e **DN 450**. Si trascurano le perdite di carico agli sbocchi e ai raccordi.

Pale

Il numero delle pale necessario è stabilito dal criterio empirico $n_p = \frac{D}{65}$ approssimando al multiplo di 4 più piccolo.

In questo caso $D / 65 = 0,012$ quindi **$n_p = 12$** .

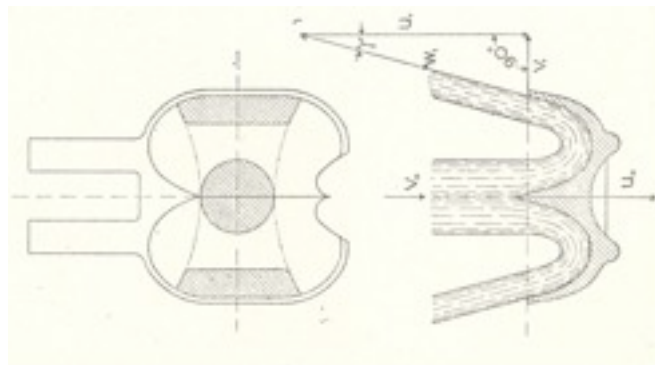


Fig. 2: Schema pala per turbina Pelton

Per la larghezza della doppia pala (indicata con a) e la sua altezza (b) esistono le relazioni:

$$a = 3 \div 3,5 d$$

$$b = 0,7 \div 0,9 a$$

Quindi:

$$a = 3,5 * 0,7 = \mathbf{0,24 \text{ m}}$$

$$b = 0,8 * 0,25 = \mathbf{0,2 \text{ m}}$$

L'angolo dello spigolo di separazione di due cucchiari accoppiati di una pala è stato posto pari a $\theta = 13^\circ$ mentre l'angolo di uscita delle pale è stato fissato pari a $\psi = 12^\circ$.

Verifica dell'efficienza

Per ottenere una turbina di forma corretta con la massima efficienza il rapporto tra il diametro del getto e quello della turbina è legato al numero caratteristico dalla relazione:

$$\frac{d}{D} = \frac{\omega_c}{250 \sqrt{n_g}}$$

In questo caso il confronto risulta pari a $0,09 = 0,06$ ovvero valori leggermente differenti.

Verifiche

Colpo d'ariete

La sovrappressione conseguente allo sviluppo del fenomeno di moto vario elastico all'interno del sistema genera notevoli sforzi sulle condotte forzate. Per evitare che si debbano sovradimensionare tali condotte, con costi chiaramente crescenti, è bene valutare qual è la massima velocità di chiusura ammissibile per il sistema perché non si superi un aumento del 25% delle pressioni. Tale chiusura deve essere più rapida possibile al fine di sprecare meno "acqua pregiata" e dunque potenziale energia. Il metodo usato per la risoluzione di tale problema è quello delle caratteristiche, introdotto dallo studio fondamentale dell' *Evangelisti*, che consente di risolvere lungo le *linee caratteristiche* (ossia quelle per cui $ds/dt = \pm c$) le equazioni del moto tenendo conto anche delle dissipazioni. Dalle analisi pertanto è possibile visualizzare l'andamento smorzato del fenomeno, che tende chiaramente verso la soluzione idrostatica per tempi sufficientemente grandi.

Decidendo l'istante t di partenza inferiore alla durata di fase è possibile descrivere l'andamento discreto delle sovrappressione a distanza di multipli di fase dall'istante t scelto. Pertanto ripetendo le analisi per un sufficiente numero di punti nell'intervallo $(0, \theta)$ è possibile graficare in modo apprezzabilmente valido l'andamento delle sovrappressione nel sistema.

La validità del calcolo analitico può essere sostenuta dal calcolo grafico secondo il metodo di *Schneider-Bergeron*. Tale metodo, risolvendo il problema sul grafico (v, σ) , restituisce esattamente gli stessi risultati del metodo analitico dell' *Evangelisti*.

Si è calcolata quindi la massima sovrappressione di colpo d'ariete nella sezione dell'otturatore verificando che essa non superi la sovrappressione relativa massima del 25%.

Equazioni risolutive

a) equazione del moto:

$$\sigma_{\tau} + \sigma_{\tau-1} - 2\beta(v_{\tau} - v_{\tau-1}) = 0$$

con:

σ_{τ} sovrappressione ridotta

$$\beta = \frac{c Q_0}{2g \omega h_0} \quad \text{con } \omega \text{ area della sezione della condotta}$$

$$\tau = \frac{t}{\theta} = \frac{ct}{2L} \quad \text{con } t \text{ multipli della durata di fase} \quad \theta = \frac{2L}{c}$$

$$c = \frac{1}{\sqrt{\rho(\alpha + k)}} \quad \text{celerità d'onda}$$

$$k = \frac{D}{sE} \quad \text{rigidezza della condotta}$$

b) condizione d'estremità inferiore

$$v_{\tau} = a(\xi_{\tau}) \sqrt{\sigma_{\tau} + 1}$$

con

$$a(\xi_\tau) = \xi_\tau \frac{\mu(\xi_\tau)}{\mu_0} \text{ grado di apertura dell'otturatore a valle}$$

Si è posto il rapporto $\frac{\mu(\xi_\tau)}{\mu_0} = 1$ e la chiusura dell'otturatore effettuata in un tempo pari a 5τ , mentre la velocità nella condotta in esercizio è pari a 1 m/s.

Si noti come ad ogni istante τ il risolutore matematico debba eseguire un calcolo iterativo a causa del riferimento incrociato tra σ e τ .

c) altezze e pressioni

Ad ogni iterazione viene calcolato:

- il carico agente $h_\tau = (\sigma_0 \cdot h_0) + h_0$ [m]

- la pressione agente $P = \rho g h_\tau$ [N/m²]

- la differenza di pressione con quella idrostatica a tempo 0 ($P_0 = \rho g h_0$) e la sua differenza in termini di percentuale

Il carico agente sull'otturatore prima della chiusura è $h_0 = 95$ m.

In base ai dati di input e ai valori calcolati precedentemente si è ottenuto:

ω	0,636172512 m ²
k	5,73394 x 10 ⁻¹⁰ m ² /N
c	959,9889184 m/s
β	-0,485758
ϑ	0,27083646
P_0	931950 N/m ²

Tabella 6: Valori fissati per la soluzione dell'equazione del moto

Chiusura graduale

Effettuando la chiusura gradualmente si hanno le seguenti iterazioni:

τ	h_τ	σ_τ	ζ_τ	$a(\zeta)$	v_τ	P	ΔP	%
0	95	0	1	1	1	931950	0	0
1	112,100969	0,1800102	0,75	0,75	0,814712058	1099710,506	167760,506	18,00102001
2	104,6564687	0,101647039	0,5	0,5	0,524796875	1026679,958	94729,95801	10,1647039
3	109,0573885	0,147972511	0,25	0,25	0,267858698	1069852,982	137902,9816	14,79725109
4	105,6643675	0,1122565	0	0	0	1036567,445	104617,4447	11,22564995
5	84,33563254	-0,1122565	0	0	0	827332,5553	-104617,4447	-11,22564995
6	105,6643675	0,1122565	0	0	0	1036567,445	104617,4447	11,22564995
7	84,33563254	-0,1122565	0	0	0	827332,5553	-104617,4447	-11,22564995
8	105,6643675	0,1122565	0	0	0	1036567,445	104617,4447	11,22564995
9	84,33563254	-0,1122565	0	0	0	827332,5553	-104617,4447	-11,22564995
10	105,6643675	0,1122565	0	0	0	1036567,445	104617,4447	11,22564995
11	84,33563254	-0,1122565	0	0	0	827332,5553	-104617,4447	-11,22564995

Tabella 7: Iterazioni per calcolo sovrappressioni - apertura graduale in 5τ

La sovrappressione massima ottenuta è di **167761 N/m²** con un incremento del **18%** rispetto a quella iniziale verificando la prescrizione di progetto.

Chiusura istantanea

E' interessante effettuare un confronto dei dati precedentemente calcolati con quelli che si ottengono effettuando questa volta una chiusura istantanea dell'otturatore. Dalla teoria del moto vario elastico si ha che la sovrappressione massima è pari a $\Delta_p = \rho c V_0$ e quindi in questo caso si ha $\max \Delta p = 905404 \text{ N/m}^2$.

Le iterazioni sono le seguenti:

τ	h_τ	σ_τ	ζ_τ	$a(\zeta)$	v_τ	P	ΔP	%
0	95	0	1	1	1	931950	0	0
1	187,29402	0,971516	0	0	0	1837354,336	905404,3359	97,15159997
2	2,70598003	-0,971516	0	0	0	26545,66409	-905404,3359	-97,15159997
3	187,29402	0,971516	0	0	0	1837354,336	905404,3359	97,15159997
4	2,70598003	-0,971516	0	0	0	26545,66409	-905404,3359	-97,15159997
5	187,29402	0,971516	0	0	0	1837354,336	905404,3359	97,15159997
6	2,70598003	-0,971516	0	0	0	26545,66409	-905404,3359	-97,15159997
7	187,29402	0,971516	0	0	0	1837354,336	905404,3359	97,15159997
8	2,70598003	-0,971516	0	0	0	26545,66409	-905404,3359	-97,15159997
9	187,29402	0,971516	0	0	0	1837354,336	905404,3359	97,15159997
10	2,70598003	-0,971516	0	0	0	26545,66409	-905404,3359	-97,15159997
11	187,29402	0,971516	0	0	0	1837354,336	905404,3359	97,15159997

Tabella 8: Iterazioni per calcolo sovrappressioni - apertura istantanea

Si noti come la Δp alla prima iterazione sia pari a quella precedentemente calcolata e come essa sia molto superiore a quella della chiusura graduale.

Ciò è evidente nel seguente grafico:

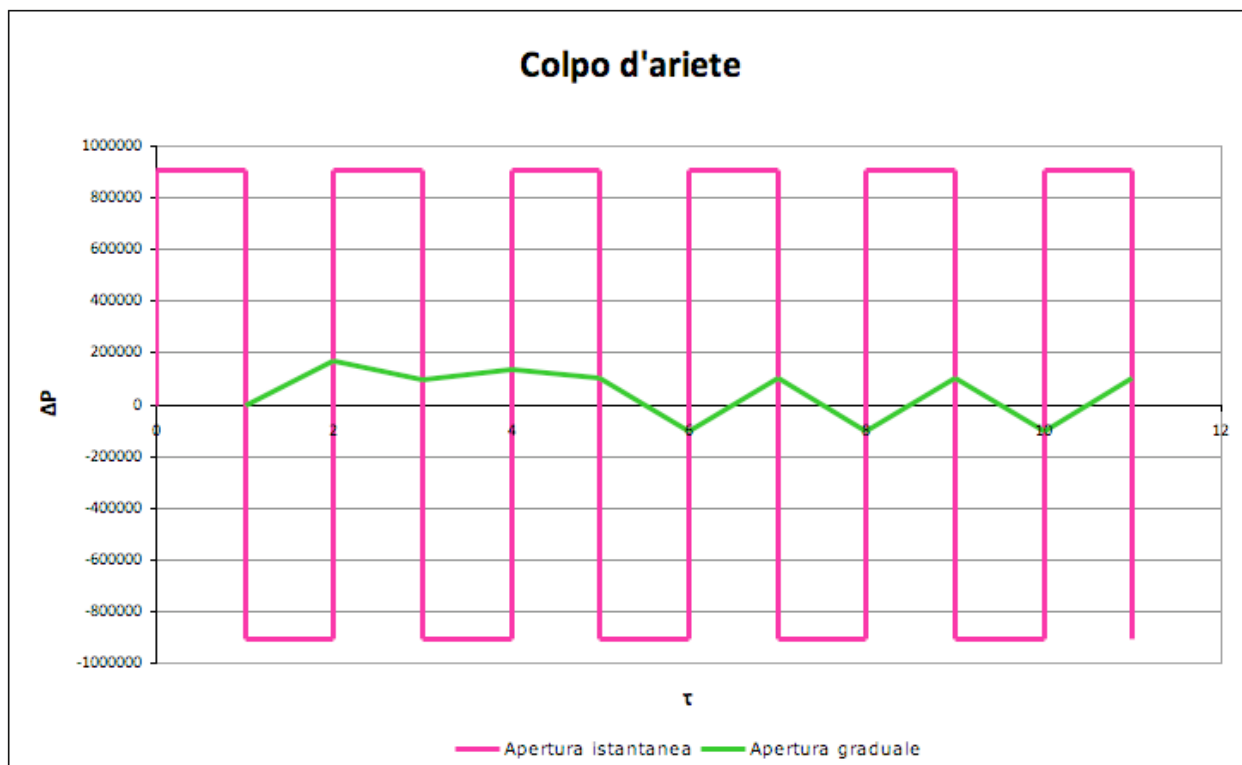


Fig. 3: Confronto tra le tipologie di aperture

Si noti come avendo trascurato nel modello le perdite di carico da un certo istante in poi il fenomeno si ripete ciclicamente senza smorzamenti.

Metodo grafico Schneider Bergeron

Per verificare la soluzione con le equazioni alle caratteristiche si può adottare il metodo grafico che descrive il fenomeno nel piano σ, v .

Dalle equazioni precedenti si ottengono le relazioni che esprimono σ in termini di parabola e retta a seconda del grado di apertura:

$$\sigma_{\tau} = \left(\frac{v_{\tau}}{a(\xi)} \right)^2 - 1$$

$$\sigma_{\tau} = 2\beta v_{\tau} - 2\beta$$

Nel caso di chiusura totale $a = 0$ la parabola degenera nella retta coincidente con l'asse σ .

In questo caso si sono ottenute 4 parabole e 4 rette corrispondenti ai gradi di apertura $a = 1$, $a = 0.75$, $a = 0.5$ e $a = 0.25$:

v_{τ}	$\sigma(a=1)$	$\sigma(a=0,75)$	$\sigma(a=0,5)$	$\sigma(a=0,25)$	retta(a=1)	retta (a=0,75)	retta (a=0,5)	retta (a=0,25)
1,40	0,96	2,4844444	6,84	30,36	-0,3886064	-0,7483674	-0,95208278	-1,2477369
1,30	0,69	2,0044444	5,76	26,04	-0,2914548	-0,6512158	-0,85493118	-1,1505853
1,20	0,44	1,56	4,76	22,04	-0,1943032	-0,5540642	-0,75777958	-1,0534337
1,10	0,21	1,1511111 11	3,84	18,36	-0,0971516	-0,4569126	-0,66062798	-0,9562821
1,00	0	0,7777777	3	15	0	-0,3597610	-0,56347638	-0,8591305
0,90	-0,19	0,44	2,24	11,96	0,0971516	-0,2626094	-0,46632478	-0,7619789
0,80	-0,36	0,1377777	1,56	9,24	0,1943032	-0,1654578	-0,36917318	-0,6648273
0,70	-0,51	-0,1288888	0,96	6,84	0,2914548	-0,0683062	-0,27202158	-0,5676757
0,60	-0,64	-0,36	0,44	4,76	0,3886064	0,028845383	-0,17486998	-0,4705241
0,50	-0,75	-0,5555555	0	3	0,485758	0,125996983	-0,07771838	-0,3733725
0,40	-0,84	-0,7155555	-0,36	1,56	0,5829096	0,223148583	0,01943322	-0,2762209
0,30	-0,91	-0,84	-0,64	0,44	0,6800612	0,320300183	0,11658482	-0,1790693
0,20	-0,96	-0,9288888	-0,84	-0,36	0,7772128	0,417451783	0,21373642	-0,0819177
0,10	-0,99	-0,9822222	-0,96	-0,84	0,8743644	0,514603383	0,31088802	0,015233836
0,00	-1	-1	-1	-1	0,971516	0,611754983	0,40803962	0,112385436

Tabella 9: Calcolo delle parabole e rette con valori discreti

Le parabole sono state approssimate con le linee di tendenza per determinarne l'equazione e poter, tramite l'intersezione con le rispettive rette, determinare la soluzione.

Indicando con a, b, c i parametri della parabola e m e q quelli della retta si ha:

Parametri:	$x(a=1)$	$x(a=0,75)$	$x(a=0,5)$	$x(a=0,25)$	$x(a=0)$
a	1	1,777	4	16	infinito
b	2,00E-14	3E-14	7E-14	2,00E-13	0
c	-1	-1	-1	-1	-1
m		-0,971516	-0,971516	-0,971516	-0,971516
q		0,971516	0,611754983	0,40803962	0,112385436
Soluzioni:					
v_{τ}	1	0,814845552	0,524847045	0,267841732	0
σ_{τ}	0	0,179880508	0,101857682	0,147827092	0,112385436

Tabella 10: Determinazione delle intersezioni retta-parabola per ogni a

Confrontando con i risultati ottenuti per le prime 5 iterazioni nel caso di apertura graduale si può notare come i valori siano praticamente coincidenti.

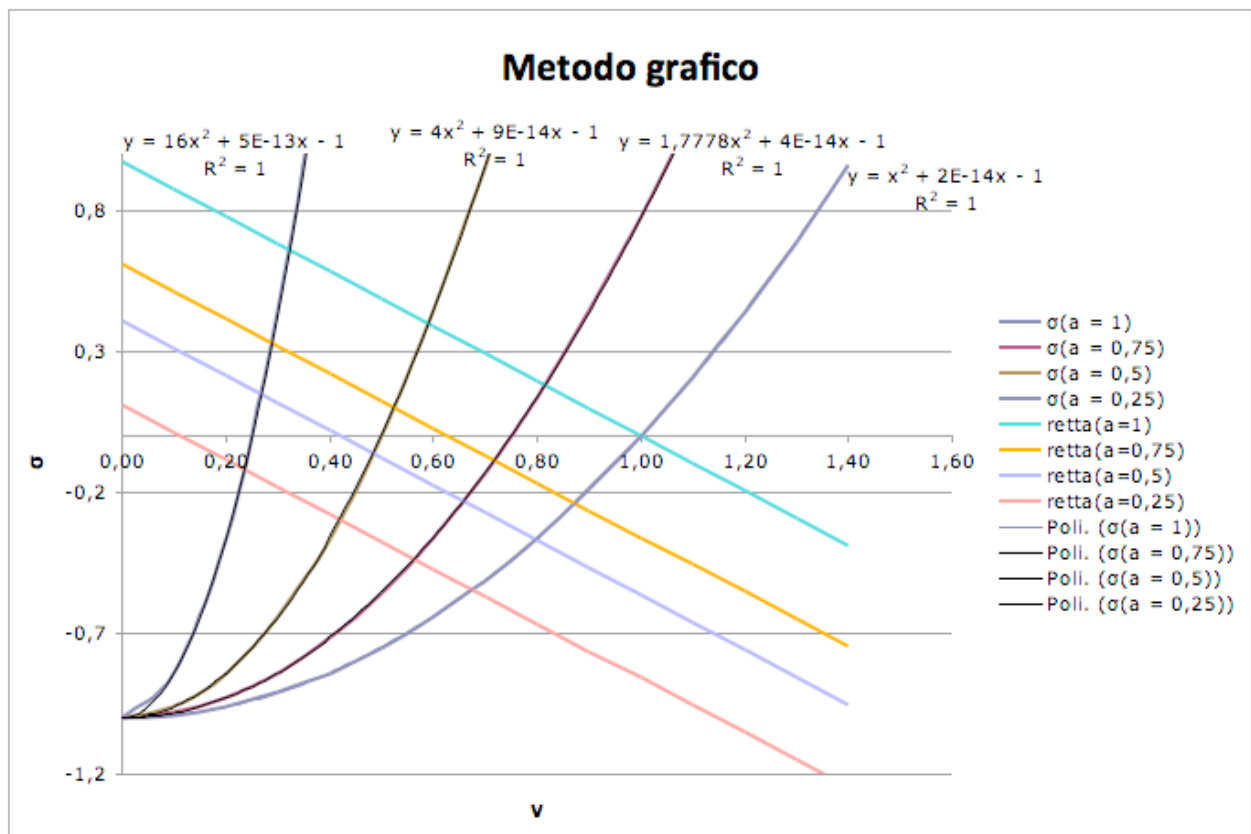


Fig. 4: Rappresentazione del metodo grafico con indicazione delle linee di tendenza

Pozzo piezometrico

Il fenomeno di moto vario d'insieme, che si sviluppa nel pozzo piezometrico e nella galleria, genera notevoli oscillazioni di livello altimetrico del pelo libero nel pozzo, pertanto risulta necessario dimensionarne in maniera corretta la lunghezza per evitare fuoriuscite d'acqua cospicue. La chiusura dell'otturatore, non potendo bloccare immediatamente il flusso idraulico nella galleria, impone che l'acqua si vada ad accumulare nel pozzo pertanto la spinta inerziale del moto tende a far salire il livello finché l'energia cinetica e di pressione non si sono completamente trasformate in energia potenziale. Chiaramente questo avviene oltre la soglia idrostatica, che è quella di equilibrio verso cui tende il sistema, perciò il moto si inverte oscillando diverse volte finché le dissipazioni viscosse nella galleria e nel pozzo non riportano il sistema in equilibrio idrostatico.

Per come si verifica il fenomeno è semplice capire che la massima quota viene raggiunta alla prima oscillazione. Se tale oscillazione risulta troppo elevata è costoso e insensato costruire un pozzo in elevazione sul terreno, pertanto si tende a realizzare una camera d'espansione in grado di accumulare l'acqua in arrivo e tagliare perciò la punta dell'impennata iniziale. Il livello del serbatoio varia nel corso dell'anno in un range compreso tra un minimo e un massimo, perciò tale verifica va chiaramente valutata con il livello appropriato che genera la condizione più gravosa, ossia il massimo.

Il problema inverso si verifica nella fase di riflusso dell'acqua verso il serbatoio. Il livello idrico nel pozzo chiaramente non deve scendere fino all'imbocco della galleria per evitare la formazione di bolle d'aria e conseguenti fenomeni di cavitazione, perciò bisogna verificare tale quota con la minima altezza idrica nel serbatoio. Anche in questo caso è stato necessario l'utilizzo di una camera d'espansione interrata per limitare la discesa massima.

Lo stesso problema può essere risolto realizzando un dissipatore immediatamente all'imbocco del pozzo. Tale valvola, in quanto strozzatura, induce forti vorticosità che tendono a dissipare il carico ma al tempo stesso crea una differenza di pressione notevole tra la parte a monte e quella a valle. Questa sovrappressione non deve essere troppo elevata perché altrimenti sortirebbe l'effetto opposto facendo alzare troppo i livelli nel pozzo per bilanciare il sistema squilibrato. L'entità del coefficiente della strozzatura deve essere tale che la massima pressione, che si verifica immediatamente a monte della strozzatura, sia pari a quella che si verifica quando l'innalzamento si arresta e dunque ci si trova per un istante in condizioni idrostatiche.

In questo caso si è adottato uno schema d'impianto differente dotato delle seguenti caratteristiche:

L	10000 m
D_g	4 m
$Z_{S_{max}}$	250 m
$Z_{S_{min}}$	200 m
Z_{go}	170 m
n	$0,012\text{ m}^{1/3} / \text{s}$
D_p	6 m
D_c	16 m
Z_{cf}	270 m
Z_{so}	250 m
Q	$30\text{ m}^3/\text{s}$

Tabella 11: Valori di calcolo per la soluzione dell'equazione del moto

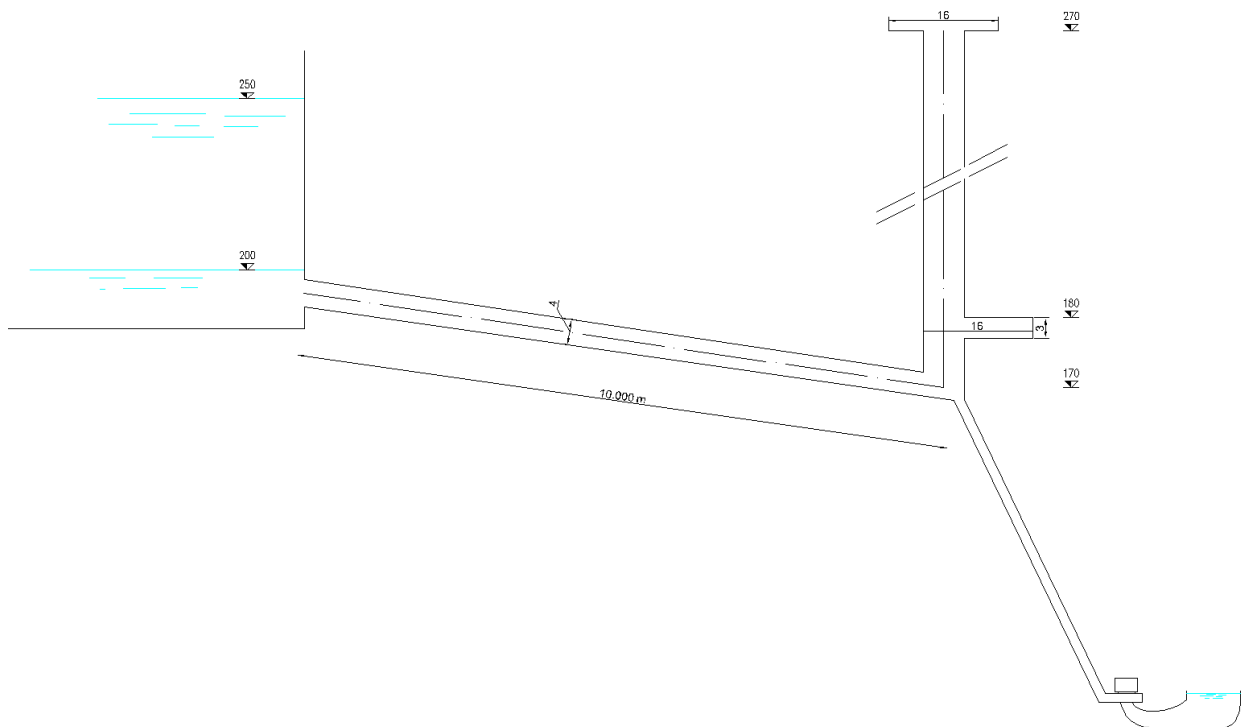


Fig. 5: Schema impianto idroelettrico con pozzo piezometrico

Considerando l'arresto completo dell'impianto, è necessario tracciare durante la prima oscillazione del sistema la funzione $h(V)$ con V velocità in galleria e h quota piezometrica sull'asse della galleria in corrispondenza del pozzo piezometrico. In seguito si determinerà la massima e minima quota piezometrica, il volume totale del pozzo fra le due quote piezometriche estreme e la massima e la minima velocità in condotta.

Equazioni risolutive

a) equazione del moto (risolta per intervalli finiti):

$$\Delta V(t) = -g \left[k |V(t)| V(t) + \frac{h_g(t) - h_s}{L} \right]$$

con:

$$k = \frac{n^2}{R^{4/3}} \text{ caratteristica unitaria della galleria}$$

Nel moto all'interno della galleria c'è dissipazione di energia, pertanto si stimano le perdite di

carico con la relazione $J = \frac{n^2 Q^2}{16 \pi^2 \cdot \left(\frac{D}{4}\right)^{16/3}}$ e quindi $h_p(t) = h_s - J L$

b) equazione di continuità nel pozzo:

$$\frac{\Delta W}{\Delta t} = Q_p$$

dalla quale si ottiene:

$$\Delta h(t) = \frac{Q}{\Omega} \Delta t$$

$$W_p = h_p \Omega_p$$

In base ai dati di input si è ottenuto:

Area pozzo (Ω_p)	28,27433388 m ²
Area galleria (Ω_g)	12,56637061 m ²
k	0,000144
J	0,000820702

Tabella 12: Valori fissati per la soluzione dell'equazione del moto

Senza camera

Vanno effettuati i calcoli considerando le due condizioni estreme, ovvero il serbatoio con il carico minimo e massimo.

In prima analisi si esclude la presenza della camera e si considerano intervalli di tempi dapprima brevi e poi più ampi (in quanto è nelle prime fasi del fenomeno l'interesse maggiore e la maggior necessità di un miglior livello di dettaglio del calcolo).

Caso 1) si considera come carico di riferimento l'altezza massima nel serbatoio $h_{\max} = 250$ m:

t	ΔT	ΔV	V	Q	ΔW	W	Δhg	hg
0	0	0,00	2,39	30	0	6836,535564	0	241,7929841
10	10	-0,10	2,28	28,692	286,92	7123,455564	10,61032954	252,4033137
20	10	-0,20	2,09	26,2193283	262,193283	7385,648847	10,14771917	262,5510328
30	10	-0,28	1,81	22,75612745	227,5612745	7613,210121	9,273190453	271,8242233
40	10	-0,34	1,47	18,49142744	184,9142744	7798,124396	8,048333711	279,872557
50	10	-0,39	1,08	13,61824748	136,1824748	7934,30687	6,540004627	286,4125616
60	10	-0,42	0,66	8,32721361	83,2721361	8017,579006	4,816469784	291,2290314
70	10	-0,44	0,22	2,803642189	28,03642189	8045,615428	2,945149352	294,1741808
80	10	-0,44	-0,22	-2,773053372	-27,73053372	8017,884895	0,991585585	295,1657663
90	10	-0,43	-0,65	-8,211363117	-82,11363117	7935,771263	-0,980767004	294,1849993
100	10	-0,40	-1,05	-13,22450487	-132,2450487	7803,526215	-2,904175621	291,2808237
110	10	-0,34	-1,40	-17,54025661	-175,4025661	7628,123649	-4,677211822	286,6036119
120	10	-0,27	-1,67	-20,94199721	-209,4199721	7418,703676	-6,203596761	280,4000151
130	10	-0,19	-1,85	-23,28350893	-232,8350893	7185,868587	-7,406716388	272,9932988
140	10	-0,10	-1,95	-24,49344952	-244,9344952	6940,934092	-8,234856751	264,758442
150	10	-0,01	-1,96	-24,57049205	-245,7049205	6695,229172	-8,662785697	256,0956563
160	10	0,08	-1,88	-23,57201185	-235,7201185	6459,509053	-8,690033918	247,4056224
170	10	0,16	-1,72	-21,59982875	-215,9982875	6243,510766	-8,336893788	239,0687286
180	10	0,22	-1,49	-18,78603983	-187,8603983	6055,650367	-7,639376703	231,4293519
200	20	0,69	-0,81	-10,13766585	-202,7533169	5852,89705	-13,28840489	218,140947
220	20	0,78	-0,02	-0,283676096	-5,673521929	5847,223528	-7,170931693	210,9700153
240	20	0,77	0,75	9,388906196	187,7781239	6035,001652	-0,200659791	210,7693555
260	20	0,62	1,37	17,22569237	344,5138474	6379,5155	6,641292584	217,4106481
280	20	0,35	1,72	21,58938615	431,7877229	6811,303223	12,18468484	229,5953329
300	20	0,02	1,74	21,80708271	436,1416542	7247,444877	15,27136677	244,8666997
320	20	-0,29	1,45	18,2003839	364,007678	7611,452555	15,42535559	260,2920553
340	20	-0,51	0,93	11,74395436	234,8790871	7846,331642	12,87413806	273,1661934
360	20	-0,64	0,29	3,674048272	73,48096543	7919,812607	8,307148387	281,4733418
380	20	-0,67	-0,38	-4,756875917	-95,13751834	7824,675089	2,598857527	284,0721993
400	20	-0,60	-0,98	-12,27697823	-245,5395646	7579,135525	-3,364801404	280,7073979
420	20	-0,41	-1,38	-17,36797831	-347,3595662	7231,775958	-8,684185651	272,0232122
440	20	-0,14	-1,52	-19,09068603	-381,8137206	6849,962238	-12,28533156	259,7378807
460	20	0,14	-1,38	-17,34276858	-346,8553716	6503,106866	-13,50389799	246,2339827
480	20	0,37	-1,01	-12,71344917	-254,2689834	6248,837883	-12,26749932	233,9664834
500	20	0,52	-0,49	-6,17973042	-123,5946084	6125,243274	-8,992925687	224,9735577
520	20	0,58	0,09	1,154198726	23,08397453	6148,327249	-4,371265081	220,6022926
540	20	0,56	0,65	8,197980543	163,9596109	6312,28686	0,816428589	221,4187212
560	20	0,43	1,09	13,66392934	273,2785868	6585,565446	5,798885008	227,2176062
580	20	0,22	1,31	16,47822745	329,5645489	6915,129995	9,665252872	236,8828591
600	20	-0,02	1,29	16,22800277	324,5600554	7239,690051	11,65596156	248,5388206
620	20	-0,24	1,05	13,16601417	263,3202835	7503,010334	11,47896381	260,0177844
640	20	-0,41	0,64	8,010227799	160,204556	7663,21489	9,31304994	269,3308344
660	20	-0,50	0,14	1,702926008	34,05852016	7697,27341	5,666077109	274,9969115
680	20	-0,51	-0,38	-4,763627528	-95,27255055	7602,00086	1,204573742	276,2014852
700	20	-0,44	-0,82	-10,34186604	-206,8373209	7395,163539	-3,369577191	272,831908
720	20	-0,29	-1,11	-13,92703791	-278,5407582	7116,622781	-7,315373785	265,5165343
740	20	-0,08	-1,18	-14,88771503	-297,7543006	6818,86848	-9,851364115	255,6651701
760	20	0,14	-1,05	-13,18973832	-263,7947664	6555,073714	-10,53090417	245,134266
780	20	0,31	-0,74	-9,298657991	-185,9731598	6369,100554	-9,329831342	235,8044346

800	20	0,42	-0,32	-3,982626111	-79,65252222	6289,448032	-6,577455037	229,2269796
820	20	0,47	0,15	1,869238358	37,38476717	6326,832799	-2,817131698	226,4098479
840	20	0,44	0,59	7,351591259	147,0318252	6473,864624	1,322215665	227,7320636
860	20	0,33	0,91	11,43817163	228,7634325	6702,628057	5,20018706	232,9322506
880	20	0,15	1,06	13,35729822	267,1459644	6969,774021	8,090851352	241,023102
900	20	-0,04	1,02	12,83992585	256,798517	7226,572538	9,448355726	250,4714577
920	20	-0,22	0,80	10,11374305	202,274861	7428,847399	9,082389634	259,5538473
940	20	-0,35	0,46	5,764412003	115,2882401	7544,135639	7,154009776	266,7078571
960	20	-0,41	0,04	0,565032705	11,3006541	7555,436293	4,077487397	270,7853445
980	20	-0,42	-0,37	-4,658899027	-93,17798053	7462,258313	0,39967888	271,1850234
1000	20	-0,35	-0,72	-9,020801155	-180,4160231	7281,842289	-3,295496931	267,8895264

Tabella 13: Soluzione numerica del moto - pozzo cilindrico con $h = h_{max}$

Dai calcoli effettuati si sono ricavati i seguenti risultati:

H_{max}	295 m
H_{min}	211 m
V_{max}	2,39 m/s

Tabella 14: Risultati con $h_{serbatoio} = h_{max}$ – senza camera



Fig. 6: Andamento $h = h(t)$ nel pozzo cilindrico - h_{max}

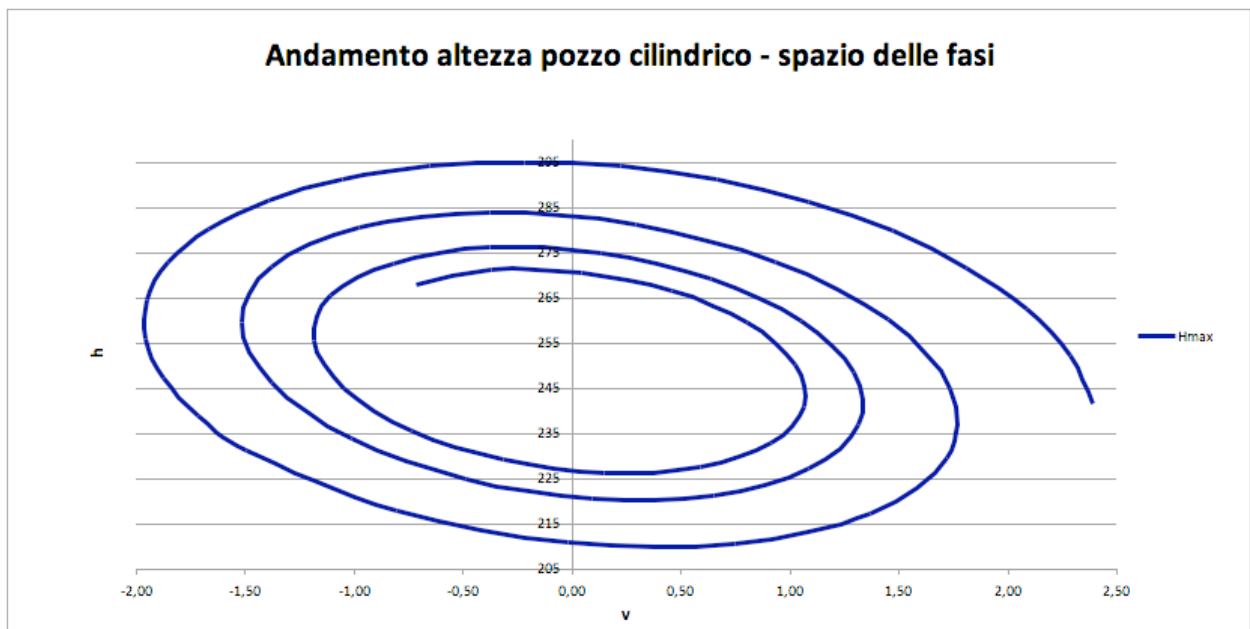


Fig. 7: Andamento altezza pozzo cilindrico nello spazio delle fasi $h = h(v)$; h_{max}

Caso 2) si considera come carico di riferimento l'altezza minima nel serbatoio $h_{min} = 200$ m:

t	ΔT	ΔV	V	Q	ΔW	W	Δh_g	h _g
0	0	0,00	2,39	30	0	5422,818869	0	191,7929841
10	10	-0,10	2,28	28,692	286,92	5709,738869	10,61032954	202,4033137
20	10	-0,20	2,09	26,2193283	262,193283	5971,932152	10,14771917	212,5510328
30	10	-0,28	1,81	22,75612745	227,5612745	6199,493427	9,273190453	221,8242233
40	10	-0,34	1,47	18,49142744	184,9142744	6384,407701	8,048333711	229,872557
50	10	-0,39	1,08	13,61824748	136,1824748	6520,590176	6,540004627	236,4125616
60	10	-0,42	0,66	8,32721361	83,2721361	6603,862312	4,816469784	241,2290314
70	10	-0,44	0,22	2,803642189	28,03642189	6631,898734	2,945149352	244,1741808
80	10	-0,44	-0,22	-2,773053372	-27,73053372	6604,1682	0,991585585	245,1657663
90	10	-0,43	-0,65	-8,211363117	-82,11363117	6522,054569	-0,980767004	244,1849993
100	10	-0,40	-1,05	-13,22450487	-132,2450487	6389,809521	-2,904175621	241,2808237
110	10	-0,34	-1,40	-17,54025661	-175,4025661	6214,406955	-4,677211822	236,6036119
120	10	-0,27	-1,67	-20,94199721	-209,4199721	6004,986982	-6,203596761	230,4000151
130	10	-0,19	-1,85	-23,28350893	-232,8350893	5772,151893	-7,406716388	222,9932988
140	10	-0,10	-1,95	-24,49344952	-244,9344952	5527,217398	-8,234856751	214,758442
150	10	-0,01	-1,96	-24,57049205	-245,7049205	5281,512478	-8,662785697	206,0956563
160	10	0,08	-1,88	-23,57201185	-235,7201185	5045,792359	-8,690033918	197,4056224
170	10	0,16	-1,72	-21,59982875	-215,9982875	4829,794071	-8,336893788	189,0687286
180	10	0,22	-1,49	-18,78603983	-187,8603983	4641,933673	-7,639376703	181,4293519
200	20	0,69	-0,81	-10,13766585	-202,7533169	4439,180356	-13,28840489	168,140947
220	20	0,78	-0,02	-0,283676096	-5,673521929	4433,506834	-7,170931693	160,9700153
240	20	0,77	0,75	9,388906196	187,7781239	4621,284958	-0,200659791	160,7693555
260	20	0,62	1,37	17,22569237	344,5138474	4965,798806	6,641292584	167,4106481
280	20	0,35	1,72	21,58938615	431,7877229	5397,586529	12,18468484	179,5953329
300	20	0,02	1,74	21,80708271	436,1416542	5833,728183	15,27136677	194,8666997
320	20	-0,29	1,45	18,2003839	364,007678	6197,735861	15,42535559	210,2920553
340	20	-0,51	0,93	11,74395436	234,8790871	6432,614948	12,87413806	223,1661934
360	20	-0,64	0,29	3,674048272	73,48096543	6506,095913	8,307148387	231,4733418
380	20	-0,67	-0,38	-4,756875917	-95,13751834	6410,958395	2,598857527	234,0721993
400	20	-0,60	-0,98	-12,27697823	-245,5395646	6165,41883	-3,364801404	230,7073979
420	20	-0,41	-1,38	-17,36797831	-347,3595662	5818,059264	-8,684185651	222,0232122
440	20	-0,14	-1,52	-19,09068603	-381,8137206	5436,245544	-12,28533156	209,7378807
460	20	0,14	-1,38	-17,34276858	-346,8553716	5089,390172	-13,50389799	196,2339827
480	20	0,37	-1,01	-12,71344917	-254,2689834	4835,121189	-12,26749932	183,9664834
500	20	0,52	-0,49	-6,17973042	-123,5946084	4711,52658	-8,992925687	174,9735577
520	20	0,58	0,09	1,154198726	23,08397453	4734,610555	-4,371265081	170,6022926
540	20	0,56	0,65	8,197980543	163,9596109	4898,570166	0,816428589	171,4187212
560	20	0,43	1,09	13,66392934	273,2785868	5171,848752	5,798885008	177,2176062
580	20	0,22	1,31	16,47822745	329,5645489	5501,413301	9,665252872	186,8828591
600	20	-0,02	1,29	16,22800277	324,5600554	5825,973357	11,65596156	198,5388206
620	20	-0,24	1,05	13,16601417	263,3202835	6089,29364	11,47896381	210,0177844
640	20	-0,41	0,64	8,010227799	160,204556	6249,498196	9,31304994	219,3308344
660	20	-0,50	0,14	1,702926008	34,05852016	6283,556716	5,666077109	224,9969115
680	20	-0,51	-0,38	-4,763627528	-95,27255055	6188,284166	1,204573742	226,2014852
700	20	-0,44	-0,82	-10,34186604	-206,8373209	5981,446845	-3,369577191	222,831908
720	20	-0,29	-1,11	-13,92703791	-278,5407582	5702,906087	-7,315373785	215,5165343
740	20	-0,08	-1,18	-14,88771503	-297,7543006	5405,151786	-9,851364115	205,6651701
760	20	0,14	-1,05	-13,18973832	-263,7947664	5141,35702	-10,53090417	195,134266
780	20	0,31	-0,74	-9,298657991	-185,9731598	4955,38386	-9,329831342	185,8044346

800	20	0,42	-0,32	-3,982626111	-79,65252222	4875,731338	-6,577455037	179,2269796
820	20	0,47	0,15	1,869238358	37,38476717	4913,116105	-2,817131698	176,4098479
840	20	0,44	0,59	7,351591259	147,0318252	5060,14793	1,322215665	177,7320636
860	20	0,33	0,91	11,43817163	228,7634325	5288,911362	5,20018706	182,9322506
880	20	0,15	1,06	13,35729822	267,1459644	5556,057327	8,090851352	191,023102
900	20	-0,04	1,02	12,83992585	256,798517	5812,855844	9,448355726	200,4714577
920	20	-0,22	0,80	10,11374305	202,274861	6015,130705	9,082389634	209,5538473
940	20	-0,35	0,46	5,764412003	115,2882401	6130,418945	7,154009776	216,7078571
960	20	-0,41	0,04	0,565032705	11,3006541	6141,719599	4,077487397	220,7853445
980	20	-0,42	-0,37	-4,658899027	-93,17798053	6048,541618	0,39967888	221,1850234
1000	20	-0,35	-0,72	-9,020801155	-180,4160231	5868,125595	-3,295496931	217,8895264

Tabella 15: Soluzione numerica del moto - pozzo cilindrico con $h = h_{min}$

Dai calcoli effettuati si sono ottenuti i seguenti risultati:

H_{max}	245 m
H_{min}	160 m
V_{max}	2,39 m/s

Tabella 16: Risultati con h serbatoio = h min – senza camera



Fig. 8: Andamento $h = h(t)$ nel pozzo cilindrico - h_{min}

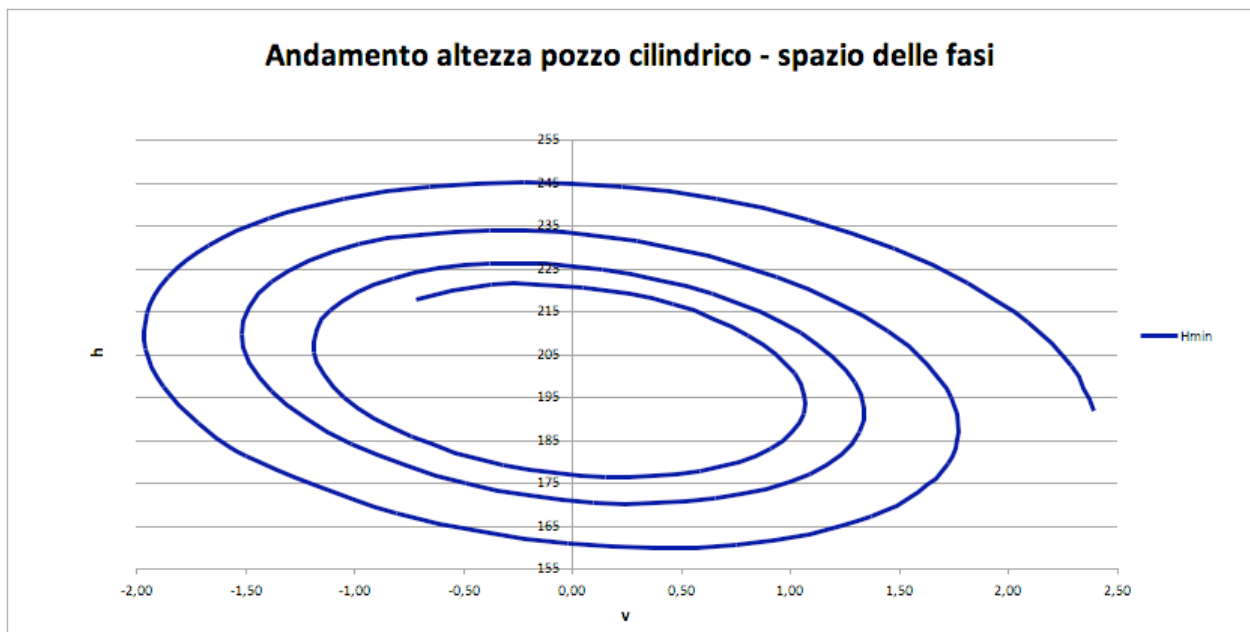


Fig. 9: Andamento altezza pozzo cilindrico nello spazio delle fasi $h = h(v)$; h_{min}

Con camera

Si considera ora l'inserimento di una camera prima superiore poi inferiore che invaserà l'acqua quando l'altezza del pozzo supera i 270 m (camera superiore per evitare che il pozzo sia troppo alto) o scende sotto ai 180 m (camera inferiore per evitare di scoprire il cielo della galleria). Assumendo una vasca dalla sezione circolare con $D = 16$ m, la sua area sarà $\Omega = 201$ m². L'intervallo di tempo è stato ridotto a 5 secondi e assunto costante.

Caso 1) si considera come carico di riferimento l'altezza massima nel serbatoio $h_{max} = 250$ m:

t	ΔT	ΔV	V	Q	Ωp	ΔW	W	Δh_g	hg
0	0	0,00	2,39	30	28	0	6836,535564	0	241,7929841
5	5	-0,03	2,36	29,673	28	148	6984,900564	5,30516477	247,0981489
10	5	-0,05	2,31	29,03353204	28	145	7130,068224	5,247338474	252,3454874
15	5	-0,07	2,24	28,09869929	28	140	7270,56172	5,134255711	257,4797431
20	5	-0,10	2,14	26,88761043	28	134	7404,999772	4,968940984	262,4486841
25	5	-0,12	2,02	25,42087684	28	127	7532,104157	4,754773454	267,2034575
30	5	-0,14	1,89	23,72017928	201	119	7650,705053	4,495398007	271,6988555
35	5	-0,13	1,75	22,03009776	201	110	7760,855542	0,589872466	272,288728
40	5	-0,13	1,62	20,34970855	201	102	7862,604084	0,547843587	272,8365716
45	5	-0,13	1,49	18,67815474	201	93	7955,994858	0,506055735	273,3426273
50	5	-0,13	1,35	17,01463879	201	85	8041,068052	0,464487602	273,8071149
55	5	-0,13	1,22	15,35841588	201	77	8117,860132	0,423119354	274,2302343
60	5	-0,13	1,09	13,708788	201	69	8186,404072	0,38193247	274,6121667
65	5	-0,13	0,96	12,06509848	201	60	8246,729564	0,34090959	274,9530763
70	5	-0,13	0,83	10,42672718	201	52	8298,8632	0,300034385	275,2531107
75	5	-0,13	0,70	8,79308598	201	44	8342,82863	0,259291433	275,5124021
80	5	-0,13	0,57	7,163614709	201	36	8378,646703	0,218666109	275,7310683
85	5	-0,13	0,44	5,537777375	201	28	8406,33559	0,178144483	275,9092127
90	5	-0,13	0,31	3,915058668	201	20	8425,910883	0,137713225	276,046926
95	5	-0,13	0,18	2,294960692	201	11	8437,385687	0,097359522	276,1442855
100	5	-0,13	0,05	0,676999883	201	3	8440,770686	0,05707099	276,2013565
105	5	-0,13	-0,07	-0,939295909	201	-5	8436,074207	0,016835606	276,2181921
110	5	-0,13	-0,20	-2,55339842	201	-13	8423,307215	-0,023358373	276,1948337
115	5	-0,13	-0,33	-4,160418334	201	-21	8402,505123	-0,063497809	276,1313359
120	5	-0,13	-0,46	-5,754996783	201	-29	8373,730139	-0,103461116	276,0278748
125	5	-0,13	-0,58	-7,331867039	201	-37	8337,070804	-0,143115029	275,8847598
130	5	-0,12	-0,71	-8,885899848	201	-44	8292,641305	-0,182328575	275,7024312
135	5	-0,12	-0,83	-10,41214638	201	-52	8240,580573	-0,220974201	275,481457
140	5	-0,12	-0,95	-11,90587803	201	-60	8181,051183	-0,258928838	275,2225281
145	5	-0,12	-1,06	-13,36262233	201	-67	8114,238071	-0,296074897	274,9264532
150	5	-0,11	-1,18	-14,77819453	201	-74	8040,347098	-0,332301156	274,5941521
155	5	-0,11	-1,29	-16,14872421	201	-81	7959,603477	-0,367503548	274,2266485
160	5	-0,11	-1,39	-17,47067681	201	-87	7872,250093	-0,401585825	273,8250627
165	5	-0,10	-1,49	-18,74086984	201	-94	7778,545744	-0,43446009	273,3906026
170	5	-0,10	-1,59	-19,95648379	201	-100	7678,763325	-0,466047199	272,9245554
175	5	-0,09	-1,68	-21,11506775	201	-106	7573,187986	-0,496277038	272,4282784
180	5	-0,09	-1,77	-22,21454019	201	-111	7462,115285	-0,525088657	271,9031897
185	5	-0,08	-1,85	-23,25318497	201	-116	7345,849361	-0,552430294	271,3507594
190	5	-0,08	-1,93	-24,22964325	201	-121	7224,701144	-0,57825927	270,7725002
195	5	-0,07	-2,00	-25,14290158	201	-126	7098,986636	-0,602541796	270,1699584
200	5	-0,07	-2,07	-25,99227682	28	-130	6969,025252	-0,625252667	269,5447057
205	5	-0,04	-2,11	-26,5339238	28	-133	6836,355633	-4,596443709	264,948262
210	5	-0,02	-2,13	-26,77035971	28	-134	6702,503835	-4,692227926	260,2560341
215	5	0,00	-2,13	-26,70791489	28	-134	6568,96426	-4,734038974	255,5219951
220	5	0,03	-2,10	-26,3562308	28	-132	6437,183106	-4,722996305	250,7989988
225	5	0,05	-2,05	-25,72775306	28	-129	6308,544341	-4,660804903	246,1381939
230	5	0,07	-1,98	-24,83724146	28	-124	6184,358134	-4,549665639	241,5885282
235	5	0,09	-1,89	-23,70131329	28	-119	6065,851567	-4,392188613	237,1963396
240	5	0,11	-1,78	-22,33803136	28	-112	5954,16141	-4,191312409	233,0050272

245	5	0,13	-1,65	-20,76654309	28	-104	5850,328695	-3,950231234	229,054796
250	5	0,14	-1,51	-19,0067733	28	-95	5755,294828	-3,672331094	225,3824649
255	5	0,15	-1,36	-17,07917012	28	-85	5669,898978	-3,361135469	222,0213294
260	5	0,17	-1,19	-15,00450134	28	-75	5594,876471	-3,020260387	219,001069
265	5	0,18	-1,02	-12,80369666	28	-64	5530,857988	-2,653378397	216,3476906
270	5	0,18	-0,84	-10,4977307	28	-52	5478,369334	-2,264190682	214,0835
275	5	0,19	-0,65	-8,107540881	28	-41	5437,83163	-1,85640637	212,2270936
280	5	0,20	-0,45	-5,653974259	28	-28	5409,561759	-1,433728008	210,7933656
285	5	0,20	-0,25	-3,157757549	28	-16	5393,772971	-0,999842168	209,7935234
290	5	0,20	-0,05	-0,639484605	28	-3	5390,575548	-0,558414137	209,2351093
295	5	0,20	0,15	1,880383917	28	9	5399,977467	-0,113085707	209,1220236
300	5	0,20	0,35	4,377539002	28	22	5421,865162	0,332524884	209,4545485
305	5	0,19	0,54	6,818195417	28	34	5455,956139	0,774118856	210,2286673
310	5	0,19	0,73	9,169174929	28	46	5501,802014	1,205721671	211,434389
315	5	0,18	0,91	11,39908442	28	57	5558,797436	1,621466127	213,0558551
320	5	0,17	1,07	13,47896428	28	67	5626,192258	2,015800703	215,0716558
325	5	0,15	1,22	15,38283996	28	77	5703,106457	2,383604215	217,45526
330	5	0,14	1,36	17,08815725	28	85	5788,547244	2,720283354	220,1755434
335	5	0,12	1,48	18,57608984	28	93	5881,427693	3,021849661	223,197393
340	5	0,10	1,58	19,83171616	28	99	5980,586274	3,284973912	226,482367
345	5	0,08	1,66	20,84407039	28	104	6084,806626	3,507017396	229,9893844
350	5	0,06	1,72	21,6060791	28	108	6192,837021	3,686040929	233,6754253
355	5	0,04	1,76	22,1144	28	111	6303,409021	3,820793655	237,4962189
360	5	0,02	1,78	22,36918244	28	112	6415,254933	3,910684526	241,4069035
365	5	0,00	1,78	22,37377048	28	112	6527,123786	3,955739954	245,3626434
370	5	-0,02	1,76	22,13436904	28	111	6637,795631	3,956551297	249,3191947
375	5	-0,04	1,72	21,65969202	28	108	6746,094091	3,914215828	253,2334105
380	5	-0,06	1,67	20,96060873	28	105	6850,897135	3,830274502	257,063685
385	5	-0,07	1,60	20,0498018	28	100	6951,146144	3,706649433	260,7703345
390	5	-0,09	1,51	18,94144685	28	95	7045,853378	3,545583405	264,3159179
395	5	-0,10	1,40	17,65092069	28	88	7134,107981	3,349583217	267,6655011
400	5	-0,12	1,29	16,19454244	201	81	7215,080694	3,121368087	270,7868692
405	5	-0,12	1,17	14,74104651	201	74	7288,785926	0,402725231	271,1895944
410	5	-0,12	1,06	13,29022872	201	66	7355,23707	0,366579753	271,5561742
415	5	-0,12	0,94	11,84189799	201	59	7414,44656	0,330500874	271,886675
420	5	-0,12	0,83	10,39587505	201	52	7466,425935	0,294483844	272,1811589
425	5	-0,11	0,71	8,951991341	201	45	7511,185892	0,258524203	272,4396831
430	5	-0,11	0,60	7,510087979	201	38	7548,736331	0,222617761	272,6623009
435	5	-0,11	0,48	6,070014801	201	30	7579,086405	0,186760566	272,8490614
440	5	-0,11	0,37	4,631629492	201	23	7602,244553	0,150948884	273,0000103
445	5	-0,11	0,25	3,194796781	201	16	7618,218537	0,115179176	273,1151895
450	5	-0,11	0,14	1,75938769	201	9	7627,015475	0,079448078	273,1946376
455	5	-0,11	0,03	0,325278837	201	2	7628,64187	0,043752382	273,2383899
460	5	-0,11	-0,09	-1,107648216	201	-6	7623,103628	0,008089021	273,246479
465	5	-0,11	-0,20	-2,538128385	201	-13	7610,412986	-0,027544951	273,218934
470	5	-0,11	-0,32	-3,961786757	201	-20	7590,604053	-0,063118075	273,1558159
475	5	-0,11	-0,43	-5,374171234	201	-27	7563,733197	-0,098521554	273,0572944
480	5	-0,11	-0,54	-6,770906659	201	-34	7529,878663	-0,133644675	272,9236497
485	5	-0,11	-0,65	-8,147728875	201	-41	7489,140019	-0,168378635	272,7552711
490	5	-0,11	-0,76	-9,500517026	201	-48	7441,637434	-0,202617395	272,5526537

495	5	-0,11	-0,86	-10,82532358	201	-54	7387,510816	-0,236258476	272,3163952
500	5	-0,10	-0,96	-12,11840158	201	-61	7326,918808	-0,269203712	272,0471915
505	5	-0,10	-1,06	-13,3762288	201	-67	7260,037664	-0,301359924	271,7458316
510	5	-0,10	-1,16	-14,59552834	201	-73	7187,060022	-0,332639521	271,413192
515	5	-0,09	-1,26	-15,77328568	201	-79	7108,193594	-0,362961013	271,050231
520	5	-0,09	-1,35	-16,90676187	201	-85	7023,659784	-0,392249435	270,6579816
525	5	-0,09	-1,43	-17,99350288	201	-90	6933,69227	-0,420436676	270,2375449
530	5	-0,08	-1,51	-19,03134522	28	-95	6838,535544	-0,447461707	269,7900832
535	5	-0,06	-1,58	-19,84014776	28	-99	6739,334805	-3,365480739	266,4246025
540	5	-0,05	-1,62	-20,41502152	28	-102	6637,259698	-3,508508431	262,916094
545	5	-0,03	-1,65	-20,75436428	28	-104	6533,487876	-3,610168431	259,3059256
550	5	-0,01	-1,66	-20,85963204	28	-104	6429,189716	-3,670177407	255,6357482
555	5	0,01	-1,65	-20,73506758	28	-104	6325,514378	-3,688792833	251,9469554
560	5	0,03	-1,62	-20,38740311	28	-102	6223,577363	-3,666765001	248,2801904
565	5	0,04	-1,58	-19,82555178	28	-99	6124,449604	-3,605284424	244,6749059
570	5	0,06	-1,52	-19,06030122	28	-95	6029,148098	-3,505927295	241,1689787
575	5	0,08	-1,44	-18,10401917	28	-91	5938,628002	-3,370601284	237,7983774
580	5	0,09	-1,35	-16,9703791	28	-85	5853,776106	-3,20149349	234,5968839
585	5	0,10	-1,25	-15,67411084	28	-78	5775,405552	-3,001021911	231,595862
590	5	0,11	-1,13	-14,23077941	28	-71	5704,251655	-2,771791354	228,8240706
595	5	0,13	-1,01	-12,65659299	28	-63	5640,96869	-2,516554318	226,3075163
600	5	0,13	-0,87	-10,9682398	28	-55	5586,127491	-2,23817704	224,0693393
605	5	0,14	-0,73	-9,182752177	28	-46	5540,21373	-1,939610645	222,1297286
610	5	0,15	-0,58	-7,317395528	28	-37	5503,626753	-1,623867111	220,5058615
615	5	0,15	-0,43	-5,389579078	28	-27	5476,678857	-1,293999632	219,2118619
620	5	0,16	-0,27	-3,416785124	28	-17	5459,594932	-0,953086835	218,258775
625	5	0,16	-0,11	-1,416513162	28	-7	5452,512366	-0,604220269	217,6545548
630	5	0,16	0,05	0,593764735	28	3	5455,481189	-0,250494524	217,4040602
635	5	0,16	0,21	2,596244632	28	13	5468,462413	0,105000658	217,5090609
640	5	0,16	0,36	4,56683499	28	23	5491,296588	0,459116852	217,9681777
645	5	0,15	0,52	6,479712926	28	32	5523,695152	0,807593737	218,7757715
650	5	0,15	0,66	8,310085027	28	42	5565,245577	1,145864825	219,9216363
655	5	0,14	0,80	10,03466145	28	50	5615,418885	1,469545677	221,391182
660	5	0,13	0,93	11,63207786	28	58	5673,579274	1,774517747	223,1656997
665	5	0,12	1,04	13,08325087	28	65	5738,995528	2,057002989	225,2227027
670	5	0,10	1,14	14,37165705	28	72	5810,853813	2,313626719	227,5363294
675	5	0,09	1,23	15,48352998	28	77	5888,271463	2,541466956	230,0777964
680	5	0,07	1,31	16,40797437	28	82	5970,311335	2,738089259	232,8158857
685	5	0,06	1,36	17,13700088	28	86	6055,99634	2,901566919	235,7174526
690	5	0,04	1,41	17,66548853	28	88	6144,323782	3,030487111	238,7479397
695	5	0,03	1,43	17,99108434	28	90	6234,279204	3,123944246	241,8718839
700	5	0,01	1,44	18,11405189	28	91	6324,849463	3,181522227	245,0534062
705	5	-0,01	1,44	18,03708081	28	90	6415,034867	3,203267664	248,2566738
710	5	-0,02	1,41	17,76506957	28	89	6503,860215	3,189656189	251,44633
715	5	-0,04	1,38	17,30489285	28	87	6590,38468	3,14155404	254,5878841
720	5	-0,05	1,33	16,66516373	28	83	6673,710498	3,06017693	257,648061
725	5	-0,06	1,26	15,85599905	28	79	6752,990493	2,947047983	260,595109
730	5	-0,08	1,18	14,88879489	28	74	6827,434468	2,803956252	263,3990652
735	5	-0,09	1,10	13,7760169	28	69	6896,314552	2,632917003	266,0319822
740	5	-0,10	1,00	12,53100904	28	63	6958,969598	2,43613465	268,4681169

745	5	-0,11	0,89	11,16782241	201	56	7014,80871	2,215968923	270,6840858
750	5	-0,11	0,78	9,805675847	201	49	7063,837089	0,277720959	270,9618068
755	5	-0,11	0,67	8,444556834	201	42	7106,059873	0,243847153	271,2056539
760	5	-0,11	0,56	7,084456172	201	35	7141,482154	0,2099989	271,4156528
765	5	-0,11	0,46	5,725367893	201	29	7170,108993	0,176175972	271,5918288
770	5	-0,11	0,35	4,367289187	201	22	7191,945439	0,142378219	271,734207
775	5	-0,11	0,24	3,010220348	201	15	7206,996541	0,108605572	271,8428126
780	5	-0,11	0,13	1,654164747	201	8	7215,267365	0,074858039	271,9176706
785	5	-0,11	0,02	0,299128819	201	1	7216,763009	0,041135703	271,9588063
790	5	-0,11	-0,08	-1,054877937	201	-5	7211,488619	0,007438723	271,966245
795	5	-0,11	-0,19	-2,406592015	201	-12	7199,455659	-0,026232662	271,9400124
800	5	-0,11	-0,30	-3,751987352	201	-19	7180,695722	-0,059847034	271,8801653
805	5	-0,11	-0,40	-5,086974425	201	-25	7155,26085	-0,093304271	271,7868611
810	5	-0,11	-0,51	-6,407531732	201	-32	7123,223192	-0,126502676	271,6603584
815	5	-0,10	-0,61	-7,709735723	201	-39	7084,674513	-0,159342242	271,5010161
820	5	-0,10	-0,72	-8,989789256	201	-45	7039,725567	-0,191725398	271,3092908
825	5	-0,10	-0,82	-10,24404813	201	-51	6988,505326	-0,223557718	271,085733
830	5	-0,10	-0,91	-11,46904526	201	-57	6931,1601	-0,254748578	270,8309845
835	5	-0,09	-1,01	-12,66151224	201	-63	6867,852539	-0,285211757	270,5457727
840	5	-0,09	-1,10	-13,81839795	201	-69	6798,760549	-0,314865978	270,2309067
845	5	-0,09	-1,19	-14,93688402	28	-75	6724,076129	-0,343635366	269,8872714
850	5	-0,07	-1,26	-15,87448049	28	-79	6644,703726	-2,641421029	267,2458503
855	5	-0,06	-1,32	-16,62280765	28	-83	6561,589688	-2,807224488	264,4386258
860	5	-0,04	-1,37	-17,1762774	28	-86	6475,708301	-2,939557783	261,4990681
865	5	-0,03	-1,40	-17,53201119	28	-88	6388,048245	-3,037432725	258,4616353
870	5	-0,01	-1,41	-17,68970621	28	-88	6299,599714	-3,100340271	255,3612951
875	5	0,00	-1,40	-17,65146152	28	-88	6211,342406	-3,128226872	252,2330682
880	5	0,02	-1,39	-17,42157561	28	-87	6124,234528	-3,121463727	249,1116045
885	5	0,03	-1,35	-17,00632639	28	-85	6039,202896	-3,080810972	246,0307935
890	5	0,05	-1,31	-16,41374367	28	-82	5957,134178	-3,007378787	243,0234147
895	5	0,06	-1,25	-15,65338251	28	-78	5878,867265	-2,902587156	240,1208275
900	5	0,07	-1,17	-14,73610424	28	-74	5805,186744	-2,768125781	237,3527018
905	5	0,08	-1,09	-13,67387053	28	-68	5736,817392	-2,605915369	234,7467864
910	5	0,10	-0,99	-12,47955384	28	-62	5674,419622	-2,418071206	232,3287152
915	5	0,10	-0,89	-11,16676659	28	-56	5618,585789	-2,206869646	230,1218455
920	5	0,11	-0,78	-9,749709735	28	-49	5569,837241	-1,97471789	228,1471277
925	5	0,12	-0,66	-8,243040758	28	-41	5528,622037	-1,72412722	226,4230004
930	5	0,13	-0,53	-6,661759902	28	-33	5495,313238	-1,457689647	224,9653108
935	5	0,13	-0,40	-5,021113146	28	-25	5470,207672	-1,178057798	223,787253
940	5	0,13	-0,27	-3,336509746	28	-17	5453,525123	-0,887927752	222,8993252
945	5	0,14	-0,13	-1,623451954	28	-8	5445,407863	-0,590024465	222,3093008
950	5	0,14	0,01	0,102525711	28	1	5445,920492	-0,287089337	222,0222114
955	5	0,14	0,15	1,825898543	28	9	5455,049985	0,018130526	222,040342
960	5	0,14	0,28	3,527501096	28	18	5472,68749	0,322889754	222,3632317
965	5	0,13	0,41	5,185533775	28	26	5498,615159	0,623799151	222,9870309
970	5	0,13	0,54	6,778924171	28	34	5532,50978	0,917003703	223,9040346
975	5	0,12	0,66	8,287708931	28	41	5573,948324	1,19877699	225,1028116
980	5	0,11	0,77	9,69338048	28	48	5622,415227	1,465588715	226,5684003
985	5	0,10	0,87	10,97918754	28	55	5677,311165	1,714166021	228,2825663
990	5	0,09	0,97	12,13038106	28	61	5737,96307	1,941546631	230,2241129

995	5	0,08	1,05	13,13440031	28	66	5803,635071	2,145122342	232,3692353
1000	5	0,07	1,11	13,98099691	28	70	5873,540056	2,322671927	234,6919072
1005	5	0,05	1,17	14,66229784	28	73	5946,851545	2,472383075	237,1642903
1010	5	0,04	1,21	15,17281106	28	76	6022,7156	2,592863531	239,7571538
1015	5	0,03	1,23	15,5093796	28	78	6100,262498	2,683142089	242,4402959
1020	5	0,01	1,25	15,67109158	28	78	6178,617956	2,742660475	245,1829564
1025	5	0,00	1,25	15,65915456	28	78	6256,913729	2,771257432	247,9542138
1030	5	-0,01	1,23	15,47674296	28	77	6334,297444	2,769146503	250,7233603
1035	5	-0,03	1,20	15,12882718	28	76	6409,94158	2,73688905	253,4602493
1040	5	-0,04	1,16	14,6219922	28	73	6483,051541	2,675364031	256,1356134
1045	5	-0,05	1,11	13,96425286	28	70	6552,872805	2,58573593	258,7213493
1050	5	-0,06	1,05	13,16487139	28	66	6618,697162	2,469422076	261,1907714
1055	5	-0,07	0,97	12,23418221	28	61	6679,868073	2,328060397	263,5188318
1060	5	-0,08	0,89	11,18342703	28	56	6735,785208	2,163478414	265,6823102
1065	5	-0,09	0,80	10,02460294	28	50	6785,908223	1,977664103	267,6599743
1070	5	-0,10	0,70	8,77032435	28	44	6829,759845	1,772739011	269,4327133
1075	5	-0,11	0,59	7,433699547	201	37	6866,928342	1,550933859	270,9836472
1080	5	-0,11	0,49	6,097854017	201	30	6897,417612	0,184860942	271,1685081
1085	5	-0,11	0,38	4,762821663	201	24	6921,231721	0,151641189	271,3201493
1090	5	-0,11	0,27	3,428638471	201	17	6938,374913	0,118441658	271,438591
1095	5	-0,11	0,17	2,095342648	201	10	6948,851626	0,085263244	271,5238542
1100	5	-0,11	0,06	0,762974772	201	4	6952,6665	0,052106897	271,5759611
1105	5	-0,11	-0,05	-0,568422047	201	-3	6949,82439	0,018973626	271,5949347
1110	5	-0,11	-0,15	-1,898438776	201	-9	6940,332196	-0,014135497	271,5807992
1115	5	-0,11	-0,26	-3,223701416	201	-16	6924,213689	-0,047210299	271,5335889
1120	5	-0,10	-0,36	-4,540207282	201	-23	6901,512653	-0,080166877	271,4534221
1125	5	-0,10	-0,47	-5,844008798	201	-29	6872,292609	-0,112905692	271,3405164
1130	5	-0,10	-0,57	-7,131242681	201	-36	6836,636395	-0,145328576	271,1951878
1135	5	-0,10	-0,67	-8,398157884	201	-42	6794,645606	-0,177339457	271,0178483
1140	5	-0,10	-0,77	-9,641141844	201	-48	6746,439897	-0,208845053	270,8090033
1145	5	-0,10	-0,86	-10,85674466	201	-54	6692,156173	-0,239755528	270,5692477
1150	5	-0,09	-0,96	-12,04170082	201	-60	6631,947669	-0,26998509	270,2992627
1155	5	-0,09	-1,05	-13,19294825	28	-66	6565,982928	-0,299452533	269,9998101
1160	5	-0,08	-1,13	-14,18406362	28	-71	6495,06261	-2,333025476	267,6667846
1165	5	-0,07	-1,19	-15,00532158	28	-75	6420,036002	-2,508293154	265,1584915
1170	5	-0,05	-1,25	-15,64954754	28	-78	6341,788264	-2,653523447	262,504968
1175	5	-0,04	-1,28	-16,11209327	28	-81	6261,227798	-2,767447609	259,7375204
1180	5	-0,02	-1,30	-16,39075967	28	-82	6179,274	-2,849243653	256,8882768
1185	5	-0,01	-1,31	-16,48567585	28	-82	6096,84562	-2,898522692	253,9897541
1190	5	0,01	-1,31	-16,39914422	28	-82	6014,849899	-2,915307558	251,0744465
1195	5	0,02	-1,28	-16,13546134	28	-81	5934,172592	-2,900005406	248,1744411
1200	5	0,03	-1,25	-15,70072383	28	-79	5855,668973	-2,853376034	245,3210651
1205	5	0,05	-1,20	-15,10262773	28	-76	5780,155835	-2,776497565	242,5445675
1210	5	0,06	-1,14	-14,35026823	28	-72	5708,404494	-2,670730952	239,8738366
1215	5	0,07	-1,07	-13,45394584	28	-67	5641,134764	-2,537684581	237,336152
1220	5	0,08	-0,99	-12,42498314	28	-62	5579,009849	-2,379179983	234,956972
1225	5	0,09	-0,90	-11,27555521	28	-56	5522,632073	-2,197219427	232,7597526
1230	5	0,10	-0,80	-10,01853573	28	-50	5472,539394	-1,993955943	230,7657966
1235	5	0,11	-0,69	-8,667359219	28	-43	5429,202598	-1,771666093	228,9941306
1240	5	0,11	-0,58	-7,235899647	28	-36	5393,0231	-1,532725626	227,4614049

1245	5	0,12	-0,46	-5,738364257	28	-29	5364,331278	-1,279587996	226,1818169
1250	5	0,12	-0,33	-4,189201422	28	-21	5343,385271	-1,014765596	225,1670513
1255	5	0,13	-0,21	-2,603020624	28	-13	5330,370168	-0,74081346	224,4262379
1260	5	0,13	-0,08	-0,994522487	28	-5	5325,397556	-0,46031511	223,9659228
1265	5	0,13	0,05	0,621563438	28	3	5328,505373	-0,175870189	223,7900526
1270	5	0,13	0,18	2,230101239	28	11	5339,655879	0,109916548	223,8999691
1275	5	0,13	0,30	3,811752708	28	19	5358,714643	0,394368484	224,2943376
1280	5	0,12	0,43	5,346484857	28	27	5385,447067	0,674065873	224,9684035
1285	5	0,12	0,54	6,815040156	28	34	5419,522268	0,945466103	225,9138696
1290	5	0,11	0,65	8,19927299	28	41	5460,518633	1,205163698	227,1190333
1295	5	0,10	0,75	9,482452044	28	47	5507,930893	1,449949807	228,5689831
1300	5	0,09	0,85	10,64951963	28	53	5561,178491	1,676865684	230,2458488
1305	5	0,08	0,93	11,68730137	28	58	5619,614998	1,883248545	232,1290973
1310	5	0,07	1,00	12,58466229	28	63	5682,538309	2,066768649	234,195866
1315	5	0,06	1,06	13,33260806	28	67	5749,20135	2,2254569	236,4213229
1320	5	0,05	1,11	13,92433282	28	70	5818,823014	2,357722753	238,7790456
1325	5	0,03	1,14	14,35521691	28	72	5890,599098	2,462362664	241,2414083
1330	5	0,02	1,16	14,62278018	28	73	5963,712999	2,538559701	243,779968
1335	5	0,01	1,17	14,72659716	28	74	6037,345985	2,585875276	246,3658433
1340	5	0,00	1,17	14,66818161	28	73	6110,686893	2,604234148	248,9700774
1345	5	-0,02	1,15	14,45084803	28	72	6182,941133	2,593904011	251,5639814
1350	5	-0,03	1,12	14,07955729	28	70	6253,33892	2,555470995	254,1194524
1355	5	-0,04	1,08	13,56075345	28	68	6321,142687	2,489812377	256,6092648
1360	5	-0,05	1,03	12,90219744	28	65	6385,653674	2,398067715	259,0073325
1365	5	-0,06	0,96	12,1128029	28	61	6446,217689	2,281609444	261,2889419
1370	5	-0,07	0,89	11,20247786	28	56	6502,230078	2,14201384	263,4309558
1375	5	-0,08	0,81	10,18197549	28	51	6553,139955	1,981033029	265,4119888
1380	5	-0,09	0,72	9,062755617	28	45	6598,453733	1,800568589	267,2125574
1385	5	-0,10	0,63	7,856858214	28	39	6637,738024	1,602647061	268,8152045
1390	5	-0,10	0,52	6,576789182	201	33	6670,62197	1,38939758	270,204602
1395	5	-0,10	0,42	5,297024037	201	26	6697,107091	0,163551329	270,3681534
1400	5	-0,10	0,32	4,017680614	201	20	6717,195494	0,131726181	270,4998796
1405	5	-0,10	0,22	2,738876883	201	14	6730,889878	0,09991152	270,5997911
1410	5	-0,10	0,12	1,460731439	201	7	6738,193535	0,06811028	270,6679014
1415	5	-0,10	0,01	0,183364006	201	1	6739,110355	0,036325411	270,7042268
1420	5	-0,10	-0,09	-1,093104075	201	-5	6733,644835	0,004559889	270,7087867
1425	5	-0,10	-0,19	-2,367206128	201	-12	6721,808804	-0,027183268	270,6816034
1430	5	-0,10	-0,29	-3,635201644	201	-18	6703,632796	-0,058867587	270,6227358
1435	5	-0,10	-0,39	-4,893347135	201	-24	6679,16606	-0,090400049	270,5323358
1440	5	-0,10	-0,49	-6,137960928	201	-31	6648,476256	-0,12168756	270,4106482
1445	5	-0,10	-0,59	-7,365449292	201	-37	6611,649009	-0,152638566	270,2580096
1450	5	-0,10	-0,68	-8,57233131	201	-43	6568,787353	-0,183163697	270,0748459
1455	5	-0,09	-0,78	-9,755262093	28	-49	6520,011042	-0,213176391	269,8616695
1460	5	-0,08	-0,86	-10,81967465	28	-54	6465,912669	-1,725109093	268,1365604
1465	5	-0,07	-0,94	-11,75384327	28	-59	6407,143453	-1,91333856	266,2232219
1470	5	-0,06	-1,00	-12,54804232	28	-63	6344,403241	-2,07853584	264,144686
1475	5	-0,05	-1,05	-13,19461943	28	-66	6278,430144	-2,218981068	261,925705
1480	5	-0,04	-1,09	-13,68801972	28	-68	6209,990045	-2,333321005	259,592384
1485	5	-0,03	-1,12	-14,02476533	28	-70	6139,866219	-2,420573333	257,1718106
1490	5	-0,01	-1,13	-14,20339567	28	-71	6068,84924	-2,480123032	254,6916876

1495	5	0,00	-1,13	-14,22437479	28	-71	5997,727366	-2,51171181	252,1799758
1500	5	0,01	-1,12	-14,08997302	28	-70	5927,277501	-2,515421734	249,6645541
1505	5	0,02	-1,10	-13,8041295	28	-69	5858,256854	-2,491654282	247,1728998
1510	5	0,03	-1,06	-13,37230256	28	-67	5791,395341	-2,44110605	244,7317937
1515	5	0,05	-1,02	-12,80131373	28	-64	5727,388772	-2,364742282	242,3670515
1520	5	0,06	-0,96	-12,09919065	28	-60	5666,892819	-2,263769287	240,1032822
1525	5	0,07	-0,90	-11,27501321	28	-56	5610,517753	-2,139606665	237,9636755
1530	5	0,07	-0,82	-10,33876615	28	-52	5558,823922	-1,993860095	235,9698154

Tabella 17: Soluzione numerica del moto - pozzo cilindrico con camera superiore e $h = h_{max}$

Dai calcoli effettuati si sono ottenuti i seguenti risultati:

H_{max}	276 m
H_{min}	209 m
V_{max}	2,39 m/s

Tabella 18: Risultati con $h_{serbatoio} = h_{max}$ – con camera

Si nota come – rispetto al caso senza camera – in questo caso l'altezza si sia notevolmente ridotta di $295 - 276 = 19$ m.

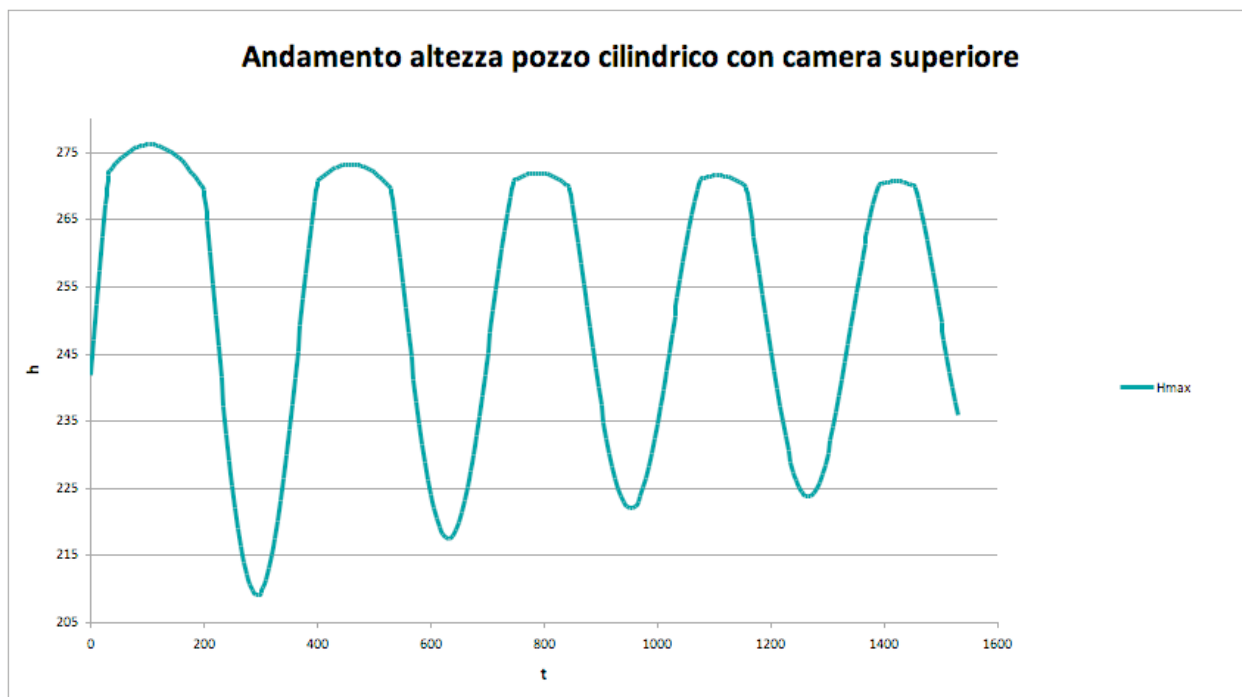


Fig. 10: Andamento $h = h(t)$ nel pozzo cilindrico con camera - h_{max}

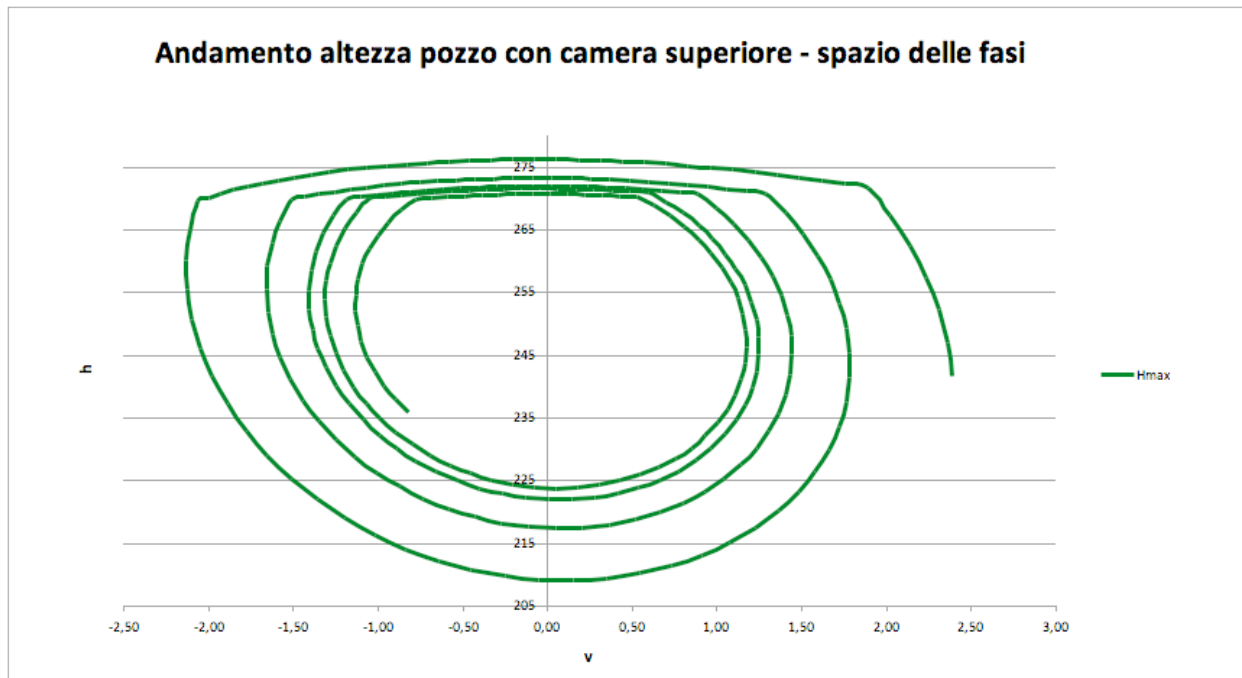


Fig. 11: Andamento altezza pozzo cilindrico con camera nello spazio delle fasi $h = h(v)$; h_{max}

Caso 2) si considera come carico di riferimento l'altezza minima nel serbatoio $h_{min} = 200$ m:

t	ΔT	ΔV	V	Q	Ωp	ΔW	W	Δhg	hg
0	0	0,00	2,39	30	28	0	5422,818869	0	191,7929841
5	5	-0,03	2,36	29,673	28	148	5571,183869	5,30516477	197,0981489
10	5	-0,05	2,31	29,03353204	28	145	5716,35153	5,247338474	202,3454874
15	5	-0,07	2,24	28,09869929	28	140	5856,845026	5,134255711	207,4797431
20	5	-0,10	2,14	26,88761043	28	134	5991,283078	4,968940984	212,4486841
25	5	-0,12	2,02	25,42087684	28	127	6118,387462	4,754773454	217,2034575
30	5	-0,14	1,89	23,72017928	28	119	6236,988359	4,495398007	221,6988555
35	5	-0,15	1,74	21,80790639	28	109	6346,027891	4,194648649	225,8935042
40	5	-0,17	1,57	19,70686246	28	99	6444,562203	3,856484556	229,7499887
45	5	-0,18	1,39	17,44004007	28	87	6531,762403	3,484938415	233,2349271
50	5	-0,19	1,20	15,03045071	28	75	6606,914657	3,084076205	236,3190033
55	5	-0,20	0,99	12,50100624	28	63	6669,419688	2,657967253	238,9769706
60	5	-0,21	0,79	9,874443065	28	49	6718,791904	2,210663263	241,1876339
65	5	-0,21	0,57	7,173281707	28	36	6754,658312	1,746184916	242,9338188
70	5	-0,22	0,35	4,41981422	28	22	6776,757383	1,268514713	244,2023335
75	5	-0,22	0,13	1,636112765	28	8	6784,937947	0,781594756	244,9839283
80	5	-0,22	-0,09	-1,155946977	28	-6	6779,158212	0,28932826	245,2732565
85	5	-0,22	-0,31	-3,933151259	28	-20	6759,492456	-0,204416306	245,0688402
90	5	-0,22	-0,53	-6,659540173	28	-33	6726,194755	-0,69553385	244,3733064
95	5	-0,21	-0,74	-9,297107585	28	-46	6679,709217	-1,177665264	243,1956411
100	5	-0,20	-0,94	-11,80968077	28	-59	6620,660813	-1,644089587	241,5515515
105	5	-0,19	-1,13	-14,16372045	28	-71	6549,842211	-2,088410078	239,4631414
110	5	-0,17	-1,30	-16,32900917	28	-82	6468,197165	-2,504695692	236,9584457
115	5	-0,16	-1,45	-18,27920059	28	-91	6376,801162	-2,887602805	234,0708429
120	5	-0,14	-1,59	-19,99221303	28	-100	6276,840097	-3,232472366	230,8383706
125	5	-0,12	-1,71	-21,45046127	28	-107	6169,587791	-3,535399474	227,3029711
130	5	-0,09	-1,80	-22,64093141	28	-113	6056,383134	-3,793274381	223,5096967
135	5	-0,07	-1,87	-23,55511255	28	-118	5938,607571	-4,003795722	219,505901
140	5	-0,05	-1,92	-24,18880581	28	-121	5817,663542	-4,165458442	215,3404425
145	5	-0,03	-1,95	-24,5418356	28	-123	5694,954364	-4,277520013	211,0629225
150	5	-0,01	-1,96	-24,61768987	28	-123	5571,865914	-4,339949388	206,7229731
155	5	0,02	-1,94	-24,42311537	28	-122	5449,750338	-4,353363367	202,3696098
160	5	0,04	-1,91	-23,96769226	28	-120	5329,911876	-4,318955041	198,0506547
165	5	0,06	-1,85	-23,26340839	28	-116	5213,594834	-4,238418552	193,8122362
170	5	0,07	-1,78	-22,32425018	28	-112	5101,973583	-4,113873821	189,6983624
175	5	0,09	-1,68	-21,16582219	28	-106	4996,144472	-3,947794186	185,7505682
180	5	0,11	-1,58	-19,80500398	28	-99	4897,119453	-3,742939141	182,007629
185	5	0,12	-1,45	-18,25964887	201	-91	4805,821208	-3,502293645	178,5053354
190	5	0,12	-1,33	-16,71936811	201	-84	4722,224368	-0,454080215	178,0512552
195	5	0,12	-1,21	-15,18374271	201	-76	4646,305654	-0,415776575	177,6354786
200	5	0,12	-1,09	-13,65238005	201	-68	4578,043754	-0,377588704	177,2578899
205	5	0,12	-0,96	-12,12491114	201	-61	4517,419198	-0,339506839	176,9183831
210	5	0,12	-0,84	-10,60098801	201	-53	4464,414258	-0,301521803	176,6168613
215	5	0,12	-0,72	-9,080281524	201	-45	4419,012851	-0,263624944	176,3532363
220	5	0,12	-0,60	-7,562479149	201	-38	4381,200455	-0,225808076	176,1274282
225	5	0,12	-0,48	-6,047283078	201	-30	4350,964039	-0,188063428	175,9393648
230	5	0,12	-0,36	-4,534408391	201	-23	4328,291997	-0,150383593	175,7889812
235	5	0,12	-0,24	-3,023581383	201	-15	4313,174091	-0,112761486	175,6762197
240	5	0,12	-0,12	-1,514537984	201	-8	4305,601401	-0,0751903	175,6010294

245	5	0,12	0,00	-0,007022271	201	0	4305,566289	-0,03766347	175,563366
250	5	0,12	0,12	1,49921494	201	7	4313,062364	-0,00017463	175,5631913
255	5	0,12	0,24	3,001890769	201	15	4328,071818	0,037282417	175,6004737
260	5	0,12	0,36	4,496163578	201	22	4350,552636	0,074650899	175,6751246
265	5	0,12	0,48	5,977247083	201	30	4380,438871	0,111810415	175,7869351
270	5	0,12	0,59	7,440449736	201	37	4417,64112	0,148641941	175,935577
275	5	0,11	0,71	8,881212531	201	44	4462,047182	0,185028805	176,1206058
280	5	0,11	0,82	10,29514462	201	51	4513,522906	0,220857637	176,3414634
285	5	0,11	0,93	11,67805613	201	58	4571,913186	0,256019243	176,5974827
290	5	0,11	1,04	13,02598771	201	65	4637,043125	0,290409431	176,8878921
295	5	0,10	1,14	14,33523626	201	72	4708,719306	0,323929739	177,2118219
300	5	0,10	1,24	15,6023767	201	78	4786,731189	0,35648808	177,5683099
305	5	0,10	1,34	16,82427934	201	84	4870,852586	0,387999277	177,9563092
310	5	0,09	1,43	17,99812299	201	90	4960,843201	0,418385503	178,3746947
315	5	0,09	1,52	19,12140363	201	96	5056,450219	0,4475766	178,8222713
320	5	0,09	1,61	20,1919388	201	101	5157,409913	0,475510298	179,2977816
325	5	0,08	1,69	21,20786799	201	106	5263,449253	0,502132323	179,7999139
330	5	0,08	1,76	22,16764917	28	111	5374,287499	0,52739641	180,3273103
335	5	0,06	1,82	22,86240338	28	114	5488,599516	3,920101048	184,2474114
340	5	0,03	1,85	23,29037308	28	116	5605,051381	4,042960565	188,290372
345	5	0,01	1,87	23,45337567	28	117	5722,31826	4,118642224	192,4090142
350	5	-0,01	1,86	23,35645386	28	117	5839,100529	4,147467412	196,5564816
355	5	-0,03	1,83	23,00749675	28	115	5954,138013	4,130327872	200,6868095
360	5	-0,05	1,78	22,41685171	28	112	6066,222271	4,068618707	204,7554282
365	5	-0,07	1,72	21,59694317	28	108	6174,206987	3,964169731	208,7195979
370	5	-0,08	1,64	20,56191159	28	103	6277,016545	3,819178068	212,538776
375	5	-0,10	1,54	19,32728159	28	97	6373,652953	3,636144299	216,1749203
380	5	-0,11	1,43	17,90966534	28	90	6463,20128	3,417813779	219,592734
385	5	-0,13	1,30	16,32650421	28	82	6544,833801	3,167124187	222,7598582
390	5	-0,14	1,16	14,59584923	28	73	6617,813047	2,887159832	225,6470181
395	5	-0,15	1,01	12,73617928	28	64	6681,493943	2,581112838	228,2281309
400	5	-0,16	0,86	10,76625426	28	54	6735,325215	2,252250988	230,4803819
405	5	-0,16	0,69	8,704999882	28	44	6778,850214	1,903891761	232,3842737
410	5	-0,17	0,52	6,571419862	28	33	6811,707313	1,539381957	233,9236556
415	5	-0,17	0,35	4,384531225	28	22	6833,62997	1,162082171	235,0857378
420	5	-0,18	0,17	2,163318121	28	11	6844,44656	0,775355353	235,8610931
425	5	-0,18	-0,01	-0,073300286	28	0	6844,080059	0,382558636	236,2436518
430	5	-0,18	-0,18	-2,306486235	28	-12	6832,547628	-0,012962336	236,2306894
435	5	-0,18	-0,36	-4,511544352	28	-23	6809,989906	-0,407876317	235,8228131
440	5	-0,17	-0,53	-6,658976365	28	-33	6776,695024	-0,797816205	235,0249969
445	5	-0,16	-0,69	-8,720342599	28	-44	6733,093311	-1,17756556	233,8474314
450	5	-0,16	-0,85	-10,66883807	28	-53	6679,749121	-1,542095144	232,3053362
455	5	-0,14	-0,99	-12,4798083	28	-62	6617,350079	-1,886664796	230,4186714
460	5	-0,13	-1,12	-14,13118573	28	-71	6546,69415	-2,206914645	228,2117568
465	5	-0,12	-1,24	-15,60383311	28	-78	6468,674985	-2,49894229	225,7128145
470	5	-0,10	-1,34	-16,88178605	28	-84	6384,266055	-2,759363523	222,953451
475	5	-0,09	-1,43	-17,95239306	28	-90	6294,504089	-2,98535522	219,9680957
480	5	-0,07	-1,50	-18,80635725	28	-94	6200,472303	-3,174680107	216,7934156
485	5	-0,05	-1,55	-19,43768835	28	-97	6103,283861	-3,325694132	213,4677215
490	5	-0,03	-1,58	-19,84357763	28	-99	6004,065973	-3,437337982	210,0303835

495	5	-0,01	-1,59	-20,02421032	28	-100	5903,944922	-3,509114964	206,5212685
500	5	0,00	-1,59	-19,98253141	28	-100	5804,032265	-3,541057838	202,9802107
505	5	0,02	-1,57	-19,72398012	28	-99	5705,412364	-3,533687388	199,4465233
510	5	0,04	-1,53	-19,25620777	28	-96	5609,131325	-3,487965481	195,9585578
515	5	0,05	-1,48	-18,58879149	28	-93	5516,187368	-3,405245168	192,5533127
520	5	0,07	-1,41	-17,73295439	28	-89	5427,522596	-3,287220057	189,2660926
525	5	0,08	-1,33	-16,70130036	28	-84	5344,016094	-3,13587483	186,1302178
530	5	0,09	-1,23	-15,50756933	28	-78	5266,478247	-2,953438343	183,1767794
535	5	0,11	-1,13	-14,16641673	28	-71	5195,646164	-2,742340349	180,4344391
540	5	0,12	-1,01	-12,69321914	201	-63	5132,180068	-2,505172498	177,9292666
545	5	0,12	-0,89	-11,22280615	201	-56	5076,066037	-0,315654464	177,6136121
550	5	0,12	-0,78	-9,754956749	201	-49	5027,291253	-0,279088293	177,3345238
555	5	0,12	-0,66	-8,289462252	201	-41	4985,843942	-0,242585873	177,091938
560	5	0,12	-0,54	-6,826124984	201	-34	4951,713317	-0,206142015	176,885796
565	5	0,12	-0,43	-5,36475712	201	-27	4924,889532	-0,169751802	176,7160442
570	5	0,12	-0,31	-3,9051796	201	-20	4905,363634	-0,133410565	176,5826336
575	5	0,12	-0,19	-2,447221108	201	-12	4893,127528	-0,09711385	176,4855197
580	5	0,12	-0,08	-0,990717131	201	-5	4888,173942	-0,060857396	176,4246623
585	5	0,12	0,04	0,464490928	201	2	4890,496397	-0,024637114	176,4000252
590	5	0,12	0,15	1,918314057	201	10	4900,087967	0,011550942	176,4115762
595	5	0,12	0,27	3,367249655	201	17	4916,924216	0,047704557	176,4592807
600	5	0,11	0,38	4,806719298	201	24	4940,957812	0,083736629	176,5430174
605	5	0,11	0,50	6,232207706	201	31	4972,118851	0,119533303	176,6625507
610	5	0,11	0,61	7,639298627	201	38	5010,315344	0,154982291	176,8175329
615	5	0,11	0,72	9,023709157	201	45	5055,43389	0,189973772	177,0075067
620	5	0,11	0,83	10,38132192	201	52	5107,340499	0,224401237	177,231908
625	5	0,11	0,93	11,70821455	201	59	5165,881572	0,258162297	177,4900703
630	5	0,10	1,03	13,00068612	201	65	5230,885003	0,291159409	177,7812297
635	5	0,10	1,13	14,25528001	201	71	5302,161403	0,323300541	178,1045302
640	5	0,10	1,23	15,46880309	201	77	5379,505418	0,354499731	178,4590299
645	5	0,09	1,32	16,63834099	201	83	5462,697123	0,384677574	178,8437075
650	5	0,09	1,41	17,76126936	201	89	5551,50347	0,413761596	179,2574691
655	5	0,09	1,50	18,83526116	201	94	5645,679776	0,441686533	179,6991556
660	5	0,08	1,58	19,85829016	28	99	5744,971226	0,468394518	180,1675502
665	5	0,06	1,64	20,64261441	28	103	5848,184298	3,511716711	183,6792669
670	5	0,04	1,69	21,18407948	28	106	5954,104696	3,65041569	187,3296826
675	5	0,02	1,71	21,48190846	28	107	6061,514238	3,746167738	191,0758503
680	5	0,00	1,71	21,5384423	28	108	6169,20645	3,798835465	194,8746858
685	5	-0,01	1,70	21,3588401	28	107	6276,00065	3,808832843	198,6835186
690	5	-0,03	1,67	20,950757	28	105	6380,754435	3,777072201	202,4605908
695	5	-0,05	1,62	20,32401528	28	102	6482,374512	3,704907264	206,1654981
700	5	-0,07	1,55	19,4902818	28	97	6579,825921	3,594074994	209,7595731
705	5	-0,08	1,47	18,46276195	28	92	6672,13973	3,446638546	213,2062116
710	5	-0,10	1,37	17,25591739	28	86	6758,419317	3,264933142	216,4711448
715	5	-0,11	1,26	15,88521248	28	79	6837,84538	3,051516166	219,5226609
720	5	-0,12	1,14	14,36689183	28	72	6909,679839	2,809122321	222,3317832
725	5	-0,13	1,01	12,71778934	28	64	6973,268785	2,540624279	224,8724075
730	5	-0,14	0,87	10,95516812	28	55	7028,044626	2,248998932	227,1214065
735	5	-0,15	0,72	9,096588814	28	45	7073,52757	1,937299065	229,0587055
740	5	-0,15	0,57	7,159803854	28	36	7109,326589	1,608630083	230,6673356

745	5	-0,16	0,41	5,162673934	28	26	7135,139959	1,266131306	231,9334669
750	5	-0,16	0,25	3,123103219	28	16	7150,755475	0,912961196	232,8464281
755	5	-0,16	0,08	1,058989367	28	5	7156,050422	0,552285906	233,398714
760	5	-0,16	-0,08	-1,01181549	28	-5	7150,991345	0,187270436	233,5859844
765	5	-0,16	-0,24	-3,070385785	28	-15	7135,639416	-0,178928263	233,4070562
770	5	-0,16	-0,41	-5,090765507	28	-25	7110,185588	-0,542963417	232,8640928
775	5	-0,16	-0,56	-7,046388098	28	-35	7074,953648	-0,900244994	231,9638478
780	5	-0,15	-0,71	-8,911863901	28	-45	7030,394328	-1,246074996	230,7177728
785	5	-0,14	-0,85	-10,66346767	28	-53	6977,07699	-1,575963547	229,1418092
790	5	-0,13	-0,98	-12,2795672	28	-61	6915,679154	-1,885715099	227,2560941
795	5	-0,12	-1,09	-13,74097882	28	-69	6846,97426	-2,171504242	225,0845899
800	5	-0,10	-1,20	-15,03124004	28	-75	6771,818059	-2,429938559	222,6546513
805	5	-0,09	-1,28	-16,13679457	28	-81	6691,134087	-2,658106837	219,9965445
810	5	-0,07	-1,36	-17,04709021	28	-85	6605,898636	-2,853611802	217,1429327
815	5	-0,06	-1,41	-17,75459398	28	-89	6517,125666	-3,014587413	214,1283453
820	5	-0,04	-1,45	-18,25473316	28	-91	6425,852	-3,139701549	210,9886437
825	5	-0,02	-1,48	-18,54577303	28	-93	6333,123135	-3,228145575	207,7604981
830	5	-0,01	-1,48	-18,62864395	28	-93	6239,979915	-3,279612724	204,4808854
835	5	0,01	-1,47	-18,5067311	28	-93	6147,446259	-3,294267521	201,1866179
840	5	0,03	-1,45	-18,18563952	28	-91	6056,518062	-3,272708594	197,9139093
845	5	0,04	-1,41	-17,67294659	28	-88	5968,153329	-3,215927137	194,6979822
850	5	0,06	-1,35	-16,97795191	28	-85	5883,263569	-3,125263121	191,5727191
855	5	0,07	-1,28	-16,11143348	28	-81	5802,706402	-3,002361078	188,570358
860	5	0,08	-1,20	-15,08541644	28	-75	5727,27932	-2,849126975	185,721231
865	5	0,09	-1,11	-13,91295944	28	-70	5657,714522	-2,667687329	183,0535437
870	5	0,10	-1,00	-12,60796125	28	-63	5594,674716	-2,460351409	180,5931923
875	5	0,11	-0,89	-11,18498944	201	-56	5538,749769	-2,229577062	178,3636152
880	5	0,11	-0,78	-9,763903031	201	-49	5489,930254	-0,278147868	178,0854673
885	5	0,11	-0,66	-8,344583362	201	-42	5448,207337	-0,242808349	177,842659
890	5	0,11	-0,55	-6,926919224	201	-35	5413,572741	-0,207512764	177,6351462
895	5	0,11	-0,44	-5,51080619	201	-28	5386,01871	-0,172258349	177,4628879
900	5	0,11	-0,33	-4,096146018	201	-20	5365,53798	-0,137042507	177,3258454
905	5	0,11	-0,21	-2,682846096	201	-13	5352,123749	-0,101862795	177,2239826
910	5	0,11	-0,10	-1,270818941	201	-6	5345,769655	-0,066716909	177,1572657
915	5	0,11	0,01	0,140018274	201	1	5346,469746	-0,031602674	177,125663
920	5	0,11	0,12	1,549722112	201	8	5354,218357	0,003481969	177,129145
925	5	0,11	0,24	2,955711644	201	15	5368,996915	0,038538427	177,1676834
930	5	0,11	0,35	4,35361013	201	22	5390,764966	0,073502519	177,2411859
935	5	0,11	0,46	5,739092274	201	29	5419,460427	0,108265402	177,3494513
940	5	0,11	0,57	7,107917873	201	36	5455,000016	0,142719516	177,4921708
945	5	0,11	0,67	8,45596416	201	42	5497,279837	0,176759416	177,6689302
950	5	0,11	0,78	9,779256309	201	49	5546,176119	0,210282577	177,8792128
955	5	0,10	0,88	11,07399561	201	55	5601,546097	0,243190153	178,122403
960	5	0,10	0,98	12,33658489	201	62	5663,229021	0,275387678	178,3977906
965	5	0,10	1,08	13,56365081	201	68	5731,047275	0,306785698	178,7045763
970	5	0,09	1,17	14,75206283	201	74	5804,807589	0,337300324	179,0418767
975	5	0,09	1,27	15,89894858	201	79	5884,302332	0,366853706	179,4087304
980	5	0,09	1,35	17,00170561	201	85	5969,31086	0,395374415	179,8041048
985	5	0,08	1,44	18,05800945	28	90	6059,600907	0,422797733	180,2269025
990	5	0,07	1,50	18,89666539	28	94	6154,084234	3,193357185	183,4202597

995	5	0,05	1,55	19,51192781	28	98	6251,643874	3,341664117	186,7619238
1000	5	0,03	1,58	19,9012277	28	100	6351,150012	3,450466401	190,2123902
1005	5	0,01	1,60	20,06498004	28	100	6451,474912	3,519309736	193,7317
1010	5	0,00	1,59	20,00634559	28	100	6551,50664	3,548267507	197,2799675
1015	5	-0,02	1,57	19,73096259	28	99	6650,161453	3,537898659	200,8178661
1020	5	-0,04	1,53	19,24666283	28	96	6746,394767	3,489200253	204,3070664
1025	5	-0,05	1,48	18,5631846	28	93	6839,21069	3,403557253	207,7106236
1030	5	-0,07	1,41	17,69189282	28	88	6927,670154	3,282691765	210,9933154
1035	5	-0,08	1,32	16,64551455	28	83	7010,897727	3,12861355	214,1219289
1040	5	-0,10	1,23	15,43789536	28	77	7088,087204	2,943573246	217,0655022
1045	5	-0,11	1,12	14,08378032	28	70	7158,506106	2,730019287	219,7955215
1050	5	-0,12	1,00	12,5986213	28	63	7221,499212	2,490559172	222,2860806
1055	5	-0,13	0,88	10,99841086	28	55	7276,491266	2,227925395	224,514006
1060	5	-0,14	0,74	9,299541691	28	46	7322,988975	1,944946061	226,4589521
1065	5	-0,14	0,60	7,51868975	28	38	7360,582424	1,644520032	228,1034721
1070	5	-0,15	0,45	5,672718572	28	28	7388,946016	1,329596266	229,4330684
1075	5	-0,15	0,30	3,778601745	28	19	7407,839025	1,003156891	230,4362253
1080	5	-0,15	0,15	1,853360311	28	9	7417,105827	0,668203495	231,1044288
1085	5	-0,15	-0,01	-0,085988271	28	0	7416,675885	0,327746061	231,4321748
1090	5	-0,15	-0,16	-2,022464741	28	-10	7406,563562	-0,015206065	231,4169688
1095	5	-0,15	-0,31	-3,934601424	28	-20	7386,890555	-0,35765029	231,0593185
1100	5	-0,15	-0,46	-5,797448548	28	-29	7357,903312	-0,695790295	230,3635282
1105	5	-0,14	-0,60	-7,586913507	28	-38	7319,968744	-1,025213993	229,3383142
1110	5	-0,13	-0,74	-9,280219018	28	-46	7273,567649	-1,341660875	227,9966533
1115	5	-0,13	-0,86	-10,8563167	28	-54	7219,286066	-1,641103033	226,3555503
1120	5	-0,11	-0,98	-12,29624198	28	-61	7157,804856	-1,919818296	224,435732
1125	5	-0,10	-1,08	-13,5833999	28	-68	7089,887856	-2,174452991	222,261279
1130	5	-0,09	-1,17	-14,70377549	28	-74	7016,368979	-2,402072487	219,8592065
1135	5	-0,07	-1,25	-15,64606661	28	-78	6938,138646	-2,600198391	217,2590081
1140	5	-0,06	-1,31	-16,40174127	28	-82	6856,129939	-2,766832046	214,4921761
1145	5	-0,04	-1,35	-16,96502485	28	-85	6771,304815	-2,900464664	211,5917114
1150	5	-0,03	-1,38	-17,33282555	28	-87	6684,640687	-3,000075072	208,5916364
1155	5	-0,01	-1,39	-17,50460805	28	-88	6597,117647	-3,065116516	205,5265198
1160	5	0,00	-1,39	-17,48222663	28	-87	6509,706514	-3,095494332	202,4310255
1165	5	0,02	-1,37	-17,26972907	28	-86	6423,357869	-3,091536427	199,3394891
1170	5	0,03	-1,34	-16,87314219	28	-84	6338,992158	-3,053958608	196,2855305
1175	5	0,05	-1,30	-16,30024886	28	-82	6257,490913	-2,983826651	193,3017038
1180	5	0,06	-1,24	-15,56036489	28	-78	6179,689089	-2,882516867	190,419187
1185	5	0,07	-1,17	-14,66412274	28	-73	6106,368475	-2,751676654	187,6675103
1190	5	0,08	-1,08	-13,6232673	28	-68	6038,252139	-2,593186244	185,0743241
1195	5	0,09	-0,99	-12,45046737	28	-62	5975,999802	-2,409122591	182,6652015
1200	5	0,10	-0,89	-11,15914509	28	-56	5920,204076	-2,201726029	180,4634754
1205	5	0,11	-0,78	-9,763324357	201	-49	5871,387455	-1,973370114	178,4901053
1210	5	0,11	-0,67	-8,368953023	201	-42	5829,54269	-0,242793958	178,2473114
1215	5	0,11	-0,56	-6,97596458	201	-35	5794,662867	-0,208118788	178,0391926
1220	5	0,11	-0,44	-5,584297737	201	-28	5766,741378	-0,173478007	177,8657146
1225	5	0,11	-0,33	-4,193896056	201	-21	5745,771898	-0,138870092	177,7268445
1230	5	0,11	-0,22	-2,804707629	201	-14	5731,74836	-0,104293639	177,6225508
1235	5	0,11	-0,11	-1,416684784	201	-7	5724,664936	-0,069747357	177,5528035
1240	5	0,11	0,00	-0,029783823	201	0	5724,516017	-0,03523006	177,5175734

1245	5	0,11	0,11	1,356035214	201	7	5731,296193	-0,000740663	177,5168328
1250	5	0,11	0,22	2,73874165	201	14	5744,989901	0,033721829	177,5505546
1255	5	0,11	0,33	4,11406773	201	21	5765,56024	0,068106917	177,6186615
1260	5	0,11	0,44	5,477790276	201	27	5792,949191	0,102308471	177,72097
1265	5	0,11	0,54	6,825764145	201	34	5827,078012	0,136221469	177,8571914
1270	5	0,11	0,65	8,153953512	201	41	5867,847779	0,169742829	178,0269343
1275	5	0,10	0,75	9,458461477	201	47	5915,140087	0,202772189	178,2297065
1280	5	0,10	0,85	10,7355575	201	54	5968,817874	0,23521264	178,4649191
1285	5	0,10	0,95	11,98170226	201	60	6028,726385	0,266971413	178,7318905
1290	5	0,10	1,05	13,19356964	201	66	6094,694234	0,297960491	179,029851
1295	5	0,09	1,14	14,36806546	201	72	6166,534561	0,32809716	179,3579482
1300	5	0,09	1,23	15,5023429	201	78	6244,046275	0,357304475	179,7152526
1305	5	0,09	1,32	16,59381441	28	83	6327,015347	0,385511641	180,1007643
1310	5	0,07	1,39	17,48472284	28	87	6414,438962	2,934430654	183,0351949
1315	5	0,05	1,45	18,16798281	28	91	6505,278876	3,091977853	186,1271728
1320	5	0,04	1,48	18,63951966	28	93	6598,476474	3,212804744	189,3399775
1325	5	0,02	1,50	18,89813039	28	94	6692,967126	3,296190768	192,6361683
1330	5	0,00	1,51	18,9452951	28	95	6787,693601	3,341923185	195,9780915
1335	5	-0,01	1,49	18,78495287	28	94	6881,618366	3,350263737	199,3283552
1340	5	-0,03	1,47	18,42325505	28	92	6973,734641	3,321909006	202,6502642
1345	5	-0,04	1,42	17,86830818	28	89	7063,076182	3,257946788	205,908211
1350	5	-0,06	1,36	17,12991681	28	86	7148,725766	3,159810635	209,0680217
1355	5	-0,07	1,29	16,21933462	28	81	7229,822439	3,029234372	212,097256
1360	5	-0,09	1,21	15,14903024	28	76	7305,56759	2,868208087	214,9654641
1365	5	-0,10	1,11	13,93247226	28	70	7375,229952	2,678936718	217,6444008
1370	5	-0,11	1,00	12,58393604	28	63	7438,149632	2,463802032	220,1082029
1375	5	-0,12	0,88	11,11833367	28	56	7493,7413	2,225328472	222,3335313
1380	5	-0,12	0,76	9,551066761	28	48	7541,496634	1,966153069	224,2996844
1385	5	-0,13	0,63	7,897901235	28	39	7580,98614	1,68899943	225,9886838
1390	5	-0,14	0,49	6,174862122	28	31	7611,860451	1,39665558	227,3853394
1395	5	-0,14	0,35	4,398146079	28	22	7633,851181	1,091955366	228,4772948
1400	5	-0,14	0,21	2,58404889	28	13	7646,771425	0,777762988	229,2550578
1405	5	-0,15	0,06	0,748904981	28	4	7650,51595	0,456960171	229,7120179
1410	5	-0,15	-0,09	-1,09096411	28	-5	7645,06113	0,132435477	229,8444534
1415	5	-0,15	-0,23	-2,91795747	28	-15	7630,471343	-0,192924812	229,6515286
1420	5	-0,14	-0,37	-4,709028328	28	-24	7606,926201	-0,516008172	229,1355204
1425	5	-0,14	-0,51	-6,441092613	28	-32	7574,720738	-0,832739039	228,3027814
1430	5	-0,13	-0,64	-8,092093855	28	-40	7534,260269	-1,139035254	227,1637461
1435	5	-0,12	-0,77	-9,641404753	28	-48	7486,053245	-1,430996374	225,7327498
1440	5	-0,11	-0,88	-11,07018159	28	-55	7430,702337	-1,704974694	224,0277751
1445	5	-0,10	-0,98	-12,36166049	28	-62	7368,894034	-1,957637912	222,0701372
1450	5	-0,09	-1,07	-13,50138804	28	-68	7301,387094	-2,186021525	219,8841156
1455	5	-0,08	-1,15	-14,47738236	28	-72	7229,000182	-2,387569605	217,496546
1460	5	-0,06	-1,22	-15,28022467	28	-76	7152,599059	-2,560163296	214,9363827
1465	5	-0,05	-1,27	-15,90308426	28	-80	7073,083638	-2,702136986	212,2342457
1470	5	-0,03	-1,30	-16,34168321	28	-82	6991,375222	-2,812282744	209,421963
1475	5	-0,02	-1,32	-16,5942087	28	-83	6908,404178	-2,889844068	206,5321189
1480	5	-0,01	-1,33	-16,66118249	28	-83	6825,098266	-2,93450038	203,5976186
1485	5	0,01	-1,32	-16,54529752	28	-83	6742,371778	-2,946343946	200,6512746
1490	5	0,02	-1,29	-16,25123173	28	-81	6661,115619	-2,925850984	197,7254236

1495	5	0,04	-1,26	-15,78544833	28	-79	6582,188378	-2,873848735	194,8515749
1500	5	0,05	-1,21	-15,15599085	28	-76	6506,408424	-2,791480145	192,0600947
1505	5	0,06	-1,14	-14,37228016	28	-72	6434,547023	-2,680167624	189,3799271
1510	5	0,07	-1,07	-13,44491887	28	-67	6367,322428	-2,541577146	186,83835
1515	5	0,08	-0,99	-12,3855075	28	-62	6305,394891	-2,377583664	184,4607663
1520	5	0,09	-0,89	-11,2064752	28	-56	6249,362515	-2,190238601	182,2705277
1525	5	0,10	-0,79	-9,920926751	28	-50	6199,757881	-1,981739915	180,2887878
1530	5	0,11	-0,68	-8,542506231	201	-43	6157,04535	-1,754405036	178,5343828

Tabella 19: Soluzione numerica del moto - pozzo cilindrico con camera inferiore e $h = h_{min}$

Dai calcoli effettuati si sono ottenuti i seguenti risultati:

H_{max}	245 m
H_{min}	175 m
V_{max}	2,39 m/s

Tabella 20: Risultati con h serbatoio = h min – con camera

Si nota come – rispetto al caso senza camera – in questo caso l'altezza minima sia notevolmente aumentata di $175 - 160 = 15$ m.

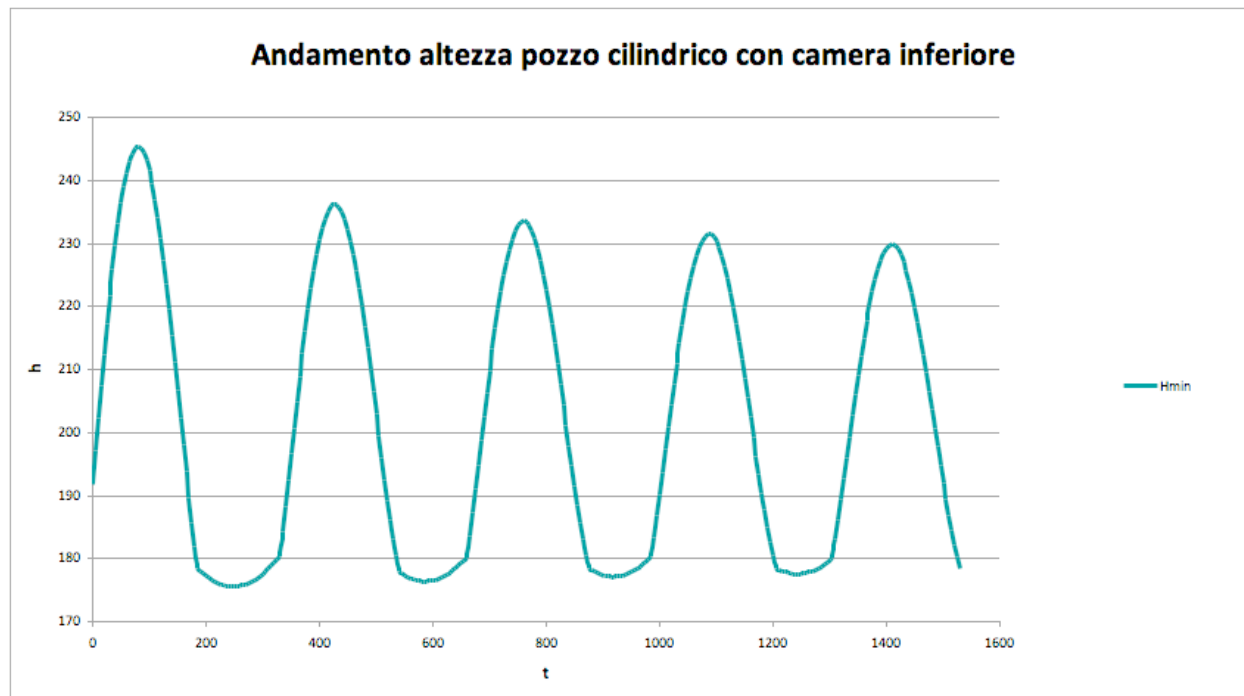


Fig. 12: Andamento $h = h(t)$ nel pozzo cilindrico con camera - h min

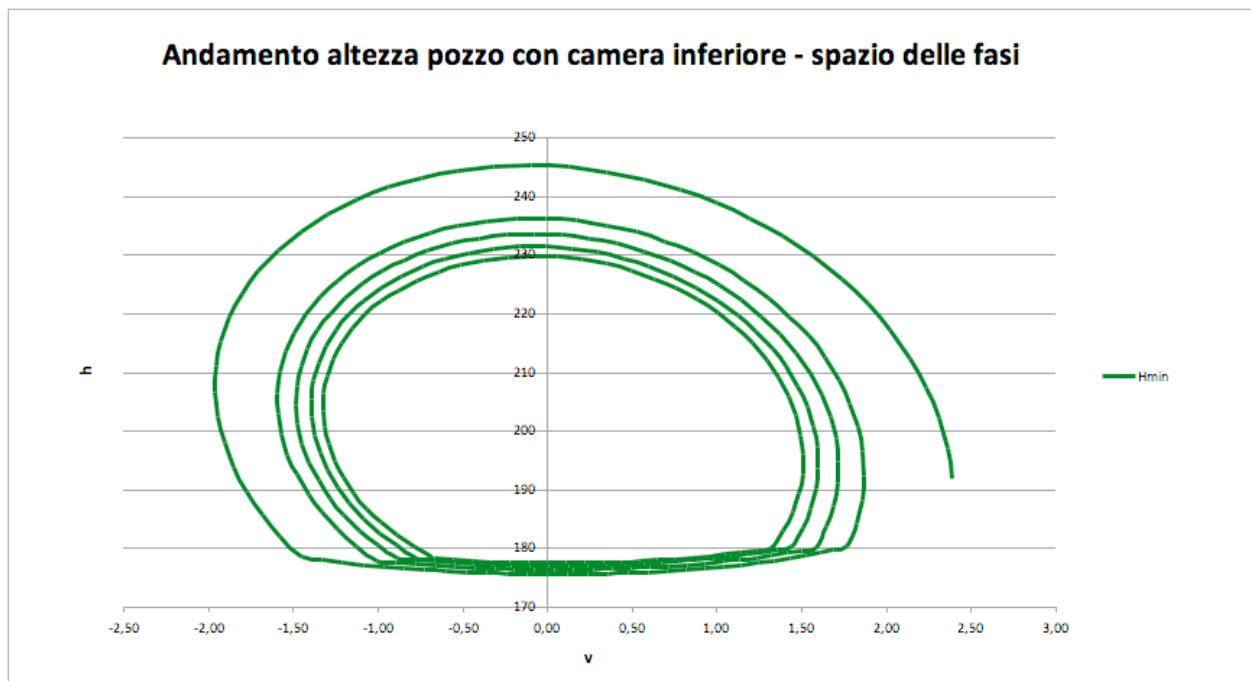


Fig. 13: Andamento altezza pozzo cilindrico con camera nello spazio delle fasi $h = h(v)$; h_{min}

Con dissipatore

Per aumentare l'effetto frenante si può disporre all'ingresso del pozzo una strozzatura che produce una perdita di carico localizzata che va aggiunta alle perdite di carico ripartite.

Si pone
$$k_s = \frac{K_s \cdot \omega^2}{L}$$

e quindi l'equazione del moto diventa:

$$\Delta V(t) = -g \left[(k + k_s) |V(t)| V(t) + \frac{h_g(t) - h_s}{L} \right]$$

In questo caso $k_s = 0,0006$ e per ottenere lo stesso effetto della riduzione delle altezze con l'utilizzo delle camere è necessario allargare il diametro del pozzo di un metro, pertanto si considera $D = 7$ m e quindi $\Omega_p = 38 \text{ m}^2$.

Parallelamente sono state calcolate le pressioni in corrispondenza della sezione del dissipatore in termini di altezze con la relazione:

$$h_{diss} = h_p + k_s |V| V L$$

t	ΔT	ΔV	V	Q	Ωp	ΔW	W	Δh_g	hg	Hdiss
0	0	0,00	2,39	30	38	0	9305	0	241,7929841	276,2181921
5	5	-0,19	2,20	27,63785249	38	138	9443	4	245,6906562	274,9081292
10	5	-0,17	2,03	25,4518967	38	127	9571	4	249,2814324	274,0598956
15	5	-0,16	1,86	23,40095932	38	117	9688	3	252,588204	273,5342178
20	5	-0,15	1,71	21,45516421	38	107	9795	3	255,6285128	273,2360149
25	5	-0,15	1,56	19,59239007	38	98	9893	3	258,4160193	273,0988199
30	5	-0,14	1,42	17,79596706	38	89	9982	3	260,9615097	273,0752218
35	5	-0,14	1,28	16,05313634	38	80	10062	2	263,2736045	273,1308109
40	5	-0,14	1,14	14,35399454	38	72	10134	2	265,3592665	273,2402355
45	5	-0,13	1,01	12,69075502	38	63	10197	2	267,224172	273,384573
50	5	-0,13	0,88	11,05722137	38	55	10253	2	268,8729854	273,5495406
55	5	-0,13	0,75	9,44840554	38	47	10300	1	270,3095661	273,7242548
60	5	-0,13	0,63	7,860246951	38	39	10339	1	271,5371257	273,9003581
65	5	-0,13	0,50	6,28940265	38	31	10371	1	272,5583478	274,0713964
70	5	-0,12	0,38	4,733088571	38	24	10394	1	273,3754821	274,2323687
75	5	-0,12	0,25	3,188957723	38	16	10410	1	273,9904164	274,3794003
80	5	-0,12	0,13	1,65500543	38	8	10419	0	274,4047334	274,5095025
85	5	-0,12	0,01	0,129494452	38	1	10419	0	274,6197557	274,6203971
90	5	-0,12	-0,11	-1,389105203	38	-7	10412	0	274,6365799	274,5627718
95	5	-0,12	-0,23	-2,890897744	38	-14	10398	0	274,4561041	274,1364358
100	5	-0,12	-0,35	-4,350772353	38	-22	10376	0	274,0805117	273,3564646
105	5	-0,11	-0,46	-5,744937966	38	-29	10347	-1	273,5152489	272,2528263
110	5	-0,10	-0,56	-7,052001552	38	-35	10312	-1	272,7688527	270,866641
115	5	-0,10	-0,66	-8,25375476	38	-41	10271	-1	271,8526398	269,2468631
120	5	-0,09	-0,74	-9,335705586	38	-47	10224	-1	270,7802921	267,446578
125	5	-0,08	-0,82	-10,28732917	38	-51	10173	-1	269,5673748	265,5193857
130	5	-0,06	-0,88	-11,10204764	38	-56	10117	-1	268,2308203	263,5162704
135	5	-0,05	-0,94	-11,77697876	38	-59	10058	-1	266,7884156	261,4832145
140	5	-0,04	-0,98	-12,31251194	38	-62	9997	-2	265,2583222	259,4596656
145	5	-0,03	-1,01	-12,71177775	38	-64	9933	-2	263,6586511	257,4778233
150	5	-0,02	-1,03	-12,98007344	38	-65	9868	-2	262,0071064	255,5626192
155	5	-0,01	-1,04	-13,12429676	38	-66	9803	-2	260,320704	253,7322102
160	5	0,00	-1,05	-13,15242616	38	-66	9737	-2	258,6155639	251,9987974
165	5	0,01	-1,04	-13,07307066	38	-65	9672	-2	256,9067691	250,3696066
170	5	0,01	-1,03	-12,89510026	38	-64	9607	-2	255,2082843	248,8478978
175	5	0,02	-1,00	-12,62735757	38	-63	9544	-2	253,5329219	247,4339165
180	5	0,03	-0,98	-12,27844484	38	-61	9483	-2	251,8923453	246,1257325
185	5	0,03	-0,94	-11,85657673	38	-59	9423	-2	250,2971002	244,9199435
190	5	0,04	-0,90	-11,36948743	38	-57	9366	-2	248,7566653	243,8122398
195	5	0,04	-0,86	-10,82438094	38	-54	9312	-1	247,2795142	242,7978408
200	5	0,05	-0,81	-10,22791413	38	-51	9261	-1	245,8731846	241,8718192
205	5	0,05	-0,76	-9,586203694	38	-48	9213	-1	244,5443494	241,0293329
210	5	0,05	-0,71	-8,904849664	38	-45	9169	-1	243,2988868	240,2657832
215	5	0,06	-0,65	-8,188969828	38	-41	9128	-1	242,1419473	239,5769164
220	5	0,06	-0,59	-7,443240609	38	-37	9091	-1	241,0780167	238,9588839
225	5	0,06	-0,53	-6,671941284	38	-33	9057	-1	240,110973	238,4082716
230	5	0,06	-0,47	-5,878999274	38	-29	9028	-1	239,2441384	237,9221097
235	5	0,06	-0,40	-5,068035033	38	-25	9002	-1	238,4803247	237,4978683
240	5	0,07	-0,34	-4,24240559	38	-21	8981	-1	237,8218734	237,1334455

245	5	0,07	-0,27	-3,405246245	38	-17	8964	-1	237,2706898	236,8271516
250	5	0,07	-0,20	-2,5595102	38	-13	8951	0	236,8282721	236,5776913
255	5	0,07	-0,14	-1,708006133	38	-9	8943	0	236,4957344	236,3841475
260	5	0,07	-0,07	-0,853433852	38	-4	8939	0	236,2738261	236,2459666
265	5	0,07	0,00	0,001581741	38	0	8939	0	236,1629459	236,162946
270	5	0,07	0,07	0,854458069	38	4	8943	0	236,1631514	236,1910779
275	5	0,07	0,14	1,698360065	38	8	8951	0	236,2741647	236,3844947
280	5	0,07	0,20	2,522371236	38	13	8964	0	236,4948197	236,7381813
285	5	0,06	0,26	3,316028191	38	17	8981	0	236,8225322	237,2431334
290	5	0,06	0,32	4,069600686	38	20	9001	0	237,2533586	237,8868455
295	5	0,06	0,38	4,774333023	38	24	9025	1	237,7820909	238,6539764
300	5	0,05	0,43	5,422634126	38	27	9052	1	238,4023837	239,5271302
305	5	0,05	0,48	6,008208341	38	30	9082	1	239,1069053	240,4876839
310	5	0,04	0,52	6,526124244	38	33	9115	1	239,8875062	241,5165949
315	5	0,04	0,55	6,972823707	38	35	9149	1	240,7353959	242,5951325
320	5	0,03	0,58	7,3460777	38	37	9186	1	241,6413219	243,7054902
325	5	0,02	0,61	7,644898292	38	38	9224	1	242,595742	244,8312565
330	5	0,02	0,63	7,869417981	38	39	9264	1	243,5889856	245,9577359
335	5	0,01	0,64	8,020747842	38	40	9304	1	244,6113993	247,0721283
340	5	0,01	0,64	8,100825269	38	41	9344	1	245,6534741	248,1635832
345	5	0,00	0,65	8,112260655	38	41	9385	1	246,7059528	249,2231535
350	5	0,00	0,64	8,058190404	38	40	9425	1	247,7599172	250,2436742
355	5	-0,01	0,63	7,942141697	38	40	9465	1	248,8068566	251,21959
360	5	-0,01	0,62	7,76791245	38	39	9504	1	249,8387187	252,1467554
365	5	-0,02	0,60	7,539468263	38	38	9541	1	250,8479446	253,0222247
370	5	-0,02	0,58	7,260856775	38	36	9578	1	251,8274904	253,8440442
375	5	-0,03	0,55	6,936138832	38	35	9612	1	252,7708384	254,6110578
380	5	-0,03	0,52	6,569335219	38	33	9645	1	253,6719982	255,3227315
385	5	-0,03	0,49	6,164387276	38	31	9676	1	254,525502	255,9789982
390	5	-0,03	0,46	5,725129544	38	29	9705	1	255,326394	256,580126
395	5	-0,04	0,42	5,25527257	38	26	9731	1	256,0702166	257,1266073
400	5	-0,04	0,38	4,758394097	38	24	9755	1	256,7529942	257,619068
405	5	-0,04	0,34	4,23793702	38	21	9776	1	257,3712162	258,0581946
410	5	-0,04	0,29	3,697212676	38	18	9794	1	257,9218192	258,4446762
415	5	-0,04	0,25	3,139408266	38	16	9810	0	258,40217	258,7791598
420	5	-0,05	0,20	2,567597387	38	13	9823	0	258,8100494	259,0622162
425	5	-0,05	0,16	1,984752842	38	10	9833	0	259,1436378	259,2943148
430	5	-0,05	0,11	1,393761058	38	7	9840	0	259,4015017	259,4758054
435	5	-0,05	0,06	0,797437579	38	4	9844	0	259,5825825	259,6069061
440	5	-0,05	0,02	0,198543208	38	1	9845	0	259,6861875	259,6876953
445	5	-0,05	-0,03	-0,400199541	38	-2	9843	0	259,7119827	259,7058566
450	5	-0,05	-0,08	-0,995154708	38	-5	9838	0	259,6599878	259,6221074
455	5	-0,05	-0,13	-1,579716622	38	-8	9830	0	259,5306949	259,4352413
460	5	-0,05	-0,17	-2,147233196	38	-11	9819	0	259,3254543	259,1490974
465	5	-0,04	-0,21	-2,691378814	38	-13	9806	0	259,0464806	258,7694143
470	5	-0,04	-0,26	-3,206284017	38	-16	9790	0	258,6968102	258,303588
475	5	-0,04	-0,29	-3,686646287	38	-18	9771	0	258,2802421	257,7603694
480	5	-0,04	-0,33	-4,127817726	38	-21	9751	0	257,8012642	257,1495231
485	5	-0,03	-0,36	-4,525867066	38	-23	9728	-1	257,2649682	256,4814706
490	5	-0,03	-0,39	-4,877615202	38	-24	9704	-1	256,6769567	255,7669404

495	5	-0,02	-0,41	-5,180645096	38	-26	9678	-1	256,0432452	255,016644
500	5	-0,02	-0,43	-5,433288302	38	-27	9651	-1	255,3701633	254,2409927
505	5	-0,02	-0,45	-5,634591451	38	-28	9622	-1	254,6642575	253,4498654
510	5	-0,01	-0,46	-5,784266692	38	-29	9594	-1	253,9321978	252,6524315
515	5	-0,01	-0,47	-5,882630391	38	-29	9564	-1	253,180692	251,8570297
520	5	0,00	-0,47	-5,930534333	38	-30	9534	-1	252,4164065	251,0710985
525	5	0,00	-0,47	-5,929293315	38	-30	9505	-1	251,6458972	250,3011522
530	5	0,00	-0,47	-5,880612521	38	-29	9475	-1	250,8755492	249,5527949
535	5	0,01	-0,46	-5,786517427	38	-29	9446	-1	250,1115259	248,8307634
540	5	0,01	-0,45	-5,649288306	38	-28	9418	-1	249,3597276	248,1389922
545	5	0,01	-0,44	-5,471400787	38	-27	9391	-1	248,6257585	247,4806909
550	5	0,02	-0,42	-5,255473321	38	-26	9365	-1	247,914901	246,8584296
555	5	0,02	-0,40	-5,00422195	38	-25	9340	-1	247,2320973	246,2742259
560	5	0,02	-0,38	-4,720422351	38	-24	9316	-1	246,5819367	245,7296303
565	5	0,02	-0,35	-4,406878888	38	-22	9294	-1	245,9686481	245,2258064
570	5	0,03	-0,32	-4,066400151	38	-20	9274	-1	245,3960958	244,7636049
575	5	0,03	-0,29	-3,701780387	38	-19	9255	-1	244,8677794	244,3436296
580	5	0,03	-0,26	-3,31578613	38	-17	9239	0	244,3868352	243,9662954
585	5	0,03	-0,23	-2,911147338	38	-15	9224	0	243,9560402	243,631878
590	5	0,03	-0,20	-2,490552354	38	-12	9212	0	243,577817	243,3405565
595	5	0,03	-0,16	-2,056646061	38	-10	9201	0	243,2542384	243,0924479
600	5	0,04	-0,13	-1,612030629	38	-8	9193	0	242,9870341	242,8876354
605	5	0,04	-0,09	-1,159268329	38	-6	9187	0	242,7775952	242,7261906
610	5	0,04	-0,06	-0,700885935	38	-4	9184	0	242,6269802	242,6081901
615	5	0,04	-0,02	-0,239380284	38	-1	9183	0	242,5359194	242,5337276
620	5	0,04	0,02	0,222775377	38	1	9184	0	242,5048186	242,5067169
625	5	0,04	0,05	0,682834802	38	3	9187	0	242,5337621	242,5515968
630	5	0,04	0,09	1,136209511	38	6	9193	0	242,6224776	242,6718576
635	5	0,04	0,13	1,578077332	38	8	9201	0	242,7700967	242,8653523
640	5	0,03	0,16	2,003805843	38	10	9211	0	242,9751243	243,1287081
645	5	0,03	0,19	2,409035207	38	12	9223	0	243,2354636	243,4574469
650	5	0,03	0,22	2,789751507	38	14	9237	0	243,5484512	243,8461418
655	5	0,03	0,25	3,142348085	38	16	9253	0	243,9109024	244,2885987
660	5	0,03	0,28	3,463673185	38	17	9270	0	244,3191638	244,7780531
665	5	0,02	0,30	3,751062947	38	19	9289	0	244,7691726	245,3073714
670	5	0,02	0,32	4,002359673	38	20	9309	0	245,2565197	245,8692457
675	5	0,02	0,34	4,215915998	38	21	9330	1	245,7765159	246,4563735
680	5	0,01	0,35	4,390586243	38	22	9352	1	246,3242578	247,061617
685	5	0,01	0,36	4,525706711	38	23	9374	1	246,8946933	247,6781354
690	5	0,01	0,37	4,621066953	38	23	9397	1	247,482684	248,2994894
695	5	0,00	0,37	4,676874226	38	23	9421	1	248,0830641	248,9197173
700	5	0,00	0,37	4,693713294	38	23	9444	1	248,6906949	249,5333836
705	5	0,00	0,37	4,672503628	38	23	9468	1	249,3005134	250,1356035
710	5	0,00	0,37	4,614455809	38	23	9491	1	249,9075763	250,7220462
715	5	-0,01	0,36	4,521028671	38	23	9513	1	250,5070975	251,2889207
720	5	-0,01	0,35	4,393888403	38	22	9535	1	251,0944804	251,8329491
725	5	-0,01	0,34	4,234870526	38	21	9556	1	251,6653449	252,3513295
730	5	-0,02	0,32	4,045945369	38	20	9577	1	252,2155495	252,8416933
735	5	-0,02	0,30	3,829187423	38	19	9596	1	252,7412084	253,3020592
740	5	-0,02	0,29	3,58674871	38	18	9614	0	253,2387056	253,7307859

745	5	-0,02	0,26	3,32083616	38	17	9630	0	253,7047046	254,1265264
750	5	-0,02	0,24	3,033692832	38	15	9645	0	254,1361557	254,4881837
755	5	-0,02	0,22	2,727582733	38	14	9659	0	254,5303003	254,8148709
760	5	-0,03	0,19	2,404778916	38	12	9671	0	254,8846744	255,105874
765	5	-0,03	0,16	2,067554507	38	10	9681	0	255,1971091	255,3606205
770	5	-0,03	0,14	1,718176279	38	9	9690	0	255,4657307	255,5786504
775	5	-0,03	0,11	1,358900416	38	7	9697	0	255,6889603	255,7595936
780	5	-0,03	0,08	0,991970088	38	5	9702	0	255,8655119	255,9031503
785	5	-0,03	0,05	0,619614486	38	3	9705	0	255,9943911	256,0090762
790	5	-0,03	0,02	0,244048995	38	1	9706	0	256,0748929	256,077171
795	5	-0,03	-0,01	-0,132523825	38	-1	9705	0	256,1066003	256,1059285
800	5	-0,03	-0,04	-0,507810196	38	-3	9703	0	256,0893825	256,0795188
805	5	-0,03	-0,07	-0,8783283	38	-4	9699	0	256,0234066	255,993898
810	5	-0,03	-0,10	-1,24031306	38	-6	9692	0	255,909292	255,8504488
815	5	-0,03	-0,13	-1,590125995	38	-8	9684	0	255,7481476	255,6514318
820	5	-0,03	-0,15	-1,924314035	38	-10	9675	0	255,5415546	255,3999146
825	5	-0,03	-0,18	-2,239662665	38	-11	9664	0	255,2915431	255,0996765
830	5	-0,02	-0,20	-2,533241786	38	-13	9651	0	255,0005607	254,755097
835	5	-0,02	-0,22	-2,802443078	38	-14	9637	0	254,6714359	254,3710305
840	5	-0,02	-0,24	-3,045008111	38	-15	9622	0	254,3073357	253,9526768
845	5	-0,02	-0,26	-3,259046898	38	-16	9605	0	253,911721	253,5054505
850	5	-0,01	-0,27	-3,443047063	38	-17	9588	0	253,4882978	253,0348576
855	5	-0,01	-0,29	-3,595874159	38	-18	9570	0	253,0409688	252,5463814
860	5	-0,01	-0,30	-3,716764033	38	-19	9552	0	252,5737842	252,0453827
865	5	-0,01	-0,30	-3,805308332	38	-19	9533	0	252,0908933	251,5370157
870	5	0,00	-0,31	-3,861434446	38	-19	9513	0	251,5964985	251,0261617
875	5	0,00	-0,31	-3,885381184	38	-19	9494	-1	251,0948117	250,517379
880	5	0,00	-0,31	-3,877671512	38	-19	9474	-1	250,5900136	250,0148703
885	5	0,00	-0,31	-3,839083562	38	-19	9455	-1	250,0862172	249,5224638
890	5	0,01	-0,30	-3,770621026	38	-19	9436	0	249,5874342	249,0436084
895	5	0,01	-0,29	-3,673483867	38	-18	9418	0	249,0975461	248,581379
900	5	0,01	-0,28	-3,549040112	38	-18	9400	0	248,6202782	248,1384904
905	5	0,01	-0,27	-3,398799322	38	-17	9383	0	248,1591784	247,717318
910	5	0,01	-0,26	-3,22438816	38	-16	9367	0	247,7175983	247,3199229
915	5	0,02	-0,24	-3,027528334	38	-15	9352	0	247,298678	246,9480791
920	5	0,02	-0,22	-2,810017041	38	-14	9338	0	246,9053342	246,6033029
925	5	0,02	-0,20	-2,573709962	38	-13	9325	0	246,5402501	246,2868812
930	5	0,02	-0,18	-2,320506725	38	-12	9314	0	246,2058675	245,9998995
935	5	0,02	-0,16	-2,052338727	38	-10	9303	0	245,9043817	245,7432681
940	5	0,02	-0,14	-1,771159121	38	-9	9294	0	245,6377369	245,5177458
945	5	0,02	-0,12	-1,478934767	38	-7	9287	0	245,4076237	245,3239609
950	5	0,02	-0,09	-1,177639906	38	-6	9281	0	245,2154769	245,1624301
955	5	0,02	-0,07	-0,869251308	38	-4	9277	0	245,0624751	245,0335733
960	5	0,02	-0,04	-0,555744655	38	-3	9274	0	244,9495399	244,9377262
965	5	0,03	-0,02	-0,239091891	38	-1	9273	0	244,8773362	244,8751496
970	5	0,03	0,01	0,0787407	38	0	9273	0	244,8462728	244,84651
975	5	0,03	0,03	0,395757712	38	2	9275	0	244,856503	244,8624939
980	5	0,02	0,06	0,709166233	38	4	9279	0	244,9079208	244,9271575
985	5	0,02	0,08	1,01588455	38	5	9284	0	245,0000574	245,0395324
990	5	0,02	0,10	1,312922648	38	7	9290	0	245,1320435	245,197978

995	5	0,02	0,13	1,597426934	38	8	9298	0	245,3026216	245,4002275
1000	5	0,02	0,15	1,866721197	38	9	9308	0	245,5101631	245,6434517
1005	5	0,02	0,17	2,118342699	38	11	9318	0	245,752692	245,9243352
1010	5	0,02	0,19	2,35007246	38	12	9330	0	246,0279122	246,2391621
1015	5	0,02	0,20	2,559959169	38	13	9343	0	246,3332393	246,583908
1020	5	0,01	0,22	2,746336366	38	14	9357	0	246,6658353	246,9543325
1025	5	0,01	0,23	2,907832909	38	15	9371	0	247,0226459	247,3460705
1030	5	0,01	0,24	3,043376952	38	15	9386	0	247,4004386	247,7547177
1035	5	0,01	0,25	3,152193924	38	16	9402	0	247,7958414	248,1759082
1040	5	0,01	0,26	3,233799171	38	16	9418	0	248,205382	248,6053822
1045	5	0,00	0,26	3,28798606	38	16	9435	0	248,625525	249,0390426
1050	5	0,00	0,26	3,314810397	38	17	9451	0	249,052708	249,4730003
1055	5	0,00	0,26	3,314572059	38	17	9468	0	249,4833762	249,903608
1060	5	0,00	0,26	3,287794701	38	16	9484	0	249,9140133	250,3274828
1065	5	0,00	0,26	3,235204338	38	16	9500	0	250,3411715	250,7415194
1070	5	-0,01	0,25	3,157707539	38	16	9516	0	250,761497	251,1428946
1075	5	-0,01	0,24	3,056369831	38	15	9532	0	251,171754	251,5290646
1080	5	-0,01	0,23	2,932394834	38	15	9546	0	251,5688449	251,8977563
1085	5	-0,01	0,22	2,787104523	38	14	9560	0	251,9498287	252,2469546
1090	5	-0,01	0,21	2,621920894	38	13	9573	0	252,311936	252,574886
1095	5	-0,01	0,19	2,438349231	38	12	9585	0	252,6525823	252,8800008
1100	5	-0,02	0,18	2,237963082	38	11	9597	0	252,9693784	253,1609539
1105	5	-0,02	0,16	2,022390956	38	10	9607	0	253,26014	253,4165859
1110	5	-0,02	0,14	1,793304723	38	9	9616	0	253,5228939	253,6459044
1115	5	-0,02	0,12	1,552409627	38	8	9623	0	253,7558843	253,8480665
1120	5	-0,02	0,10	1,301435794	38	7	9630	0	253,9575771	254,0223629
1125	5	-0,02	0,08	1,042131087	38	5	9635	0	254,1266628	254,168204
1130	5	-0,02	0,06	0,776255146	38	4	9639	0	254,262059	254,2851075
1135	5	-0,02	0,04	0,505574419	38	3	9642	0	254,3629119	254,3726889
1140	5	-0,02	0,02	0,231858022	38	1	9643	0	254,4285973	254,4306536
1145	5	-0,02	0,00	-0,043125789	38	0	9643	0	254,4587209	254,4586498
1150	5	-0,02	-0,03	-0,317601852	38	-2	9641	0	254,4531179	254,4492595
1155	5	-0,02	-0,05	-0,589245421	38	-3	9638	0	254,4118543	254,3985734
1160	5	-0,02	-0,07	-0,855450969	38	-4	9634	0	254,3352981	254,3073067
1165	5	-0,02	-0,09	-1,113683035	38	-6	9628	0	254,2241559	254,1767145
1170	5	-0,02	-0,11	-1,361511875	38	-7	9621	0	254,0794635	254,0085585
1175	5	-0,02	-0,13	-1,596646464	38	-8	9613	0	253,9025726	253,805062
1180	5	-0,02	-0,14	-1,816963977	38	-9	9604	0	253,6951324	253,5688547
1185	5	-0,02	-0,16	-2,020535073	38	-10	9594	0	253,4590681	253,3029092
1190	5	-0,01	-0,18	-2,20564448	38	-11	9583	0	253,1965554	253,010473
1195	5	-0,01	-0,19	-2,370806597	38	-12	9571	0	252,9099927	252,6949987
1200	5	-0,01	-0,20	-2,514776002	38	-13	9559	0	252,6019718	252,3600736
1205	5	-0,01	-0,21	-2,636552999	38	-13	9546	0	252,2752461	252,009353
1210	5	-0,01	-0,22	-2,735384457	38	-14	9532	0	251,9326988	251,646498
1215	5	-0,01	-0,22	-2,810760371	38	-14	9518	0	251,5773111	251,2751199
1220	5	0,00	-0,23	-2,862406672	38	-14	9503	0	251,2121303	250,898732
1225	5	0,00	-0,23	-2,890274874	38	-14	9489	0	250,8402396	250,5207091
1230	5	0,00	-0,23	-2,894529199	38	-14	9475	0	250,4647281	250,1442562
1235	5	0,00	-0,23	-2,875531805	38	-14	9460	0	250,0886639	249,7723849
1240	5	0,00	-0,23	-2,833826735	38	-14	9446	0	249,7150679	249,4078966

1245	5	0,01	-0,22	-2,770123134	38	-14	9432	0	249,3468904	249,0533741
1250	5	0,01	-0,21	-2,685278258	38	-13	9419	0	248,9869893	248,7111776
1255	5	0,01	-0,21	-2,580280676	38	-13	9406	0	248,6381115	248,3834473
1260	5	0,01	-0,20	-2,456234025	38	-12	9394	0	248,3028752	248,0721083
1265	5	0,01	-0,18	-2,314341596	38	-12	9382	0	247,9837554	247,7788804
1270	5	0,01	-0,17	-2,15589194	38	-11	9371	0	247,6830706	247,5052885
1275	5	0,01	-0,16	-1,982245622	38	-10	9361	0	247,4029719	247,2526754
1280	5	0,01	-0,14	-1,794823203	38	-9	9352	0	247,1454338	247,0222149
1285	5	0,02	-0,13	-1,595094452	38	-8	9344	0	246,9122461	246,814925
1290	5	0,02	-0,11	-1,384568777	38	-7	9337	0	246,7050076	246,6316807
1295	5	0,02	-0,09	-1,16478679	38	-6	9332	0	246,5251211	246,4732259
1300	5	0,02	-0,07	-0,937312938	38	-5	9327	0	246,3737892	246,3401842
1305	5	0,02	-0,06	-0,703729072	38	-4	9323	0	246,2520112	246,2330684
1310	5	0,02	-0,04	-0,465628826	38	-2	9321	0	246,1605811	246,152288
1315	5	0,02	-0,02	-0,224612676	38	-1	9320	0	246,1000854	246,0981557
1320	5	0,02	0,00	0,017716483	38	0	9320	0	246,0709032	246,0709152
1325	5	0,02	0,02	0,259755546	38	1	9321	0	246,073205	246,0757858
1330	5	0,02	0,04	0,499518357	38	2	9324	0	246,1069531	246,1164972
1335	5	0,02	0,06	0,734749417	38	4	9327	0	246,1718517	246,1925013
1340	5	0,02	0,08	0,963248771	38	5	9332	0	246,2673121	246,3028025
1345	5	0,02	0,09	1,182901438	38	6	9338	0	246,3924597	246,4459815
1350	5	0,02	0,11	1,391704848	38	7	9345	0	246,5461451	246,6202297
1355	5	0,02	0,13	1,587793645	38	8	9353	0	246,7269587	246,8233909
1360	5	0,01	0,14	1,769461283	38	9	9362	0	246,9332487	247,0530099
1365	5	0,01	0,15	1,935178023	38	10	9372	0	247,1631413	247,3063852
1370	5	0,01	0,17	2,083605052	38	10	9382	0	247,4145643	247,5806243
1375	5	0,01	0,18	2,213604618	38	11	9393	0	247,6852713	247,8726992
1380	5	0,01	0,18	2,324246205	38	12	9405	0	247,9728681	248,1795005
1385	5	0,01	0,19	2,41480892	38	12	9417	0	248,2748398	248,4978884
1390	5	0,01	0,20	2,484780352	38	12	9429	0	248,5885775	248,8247396
1395	5	0,00	0,20	2,533852278	38	13	9442	0	248,9114062	249,1569882
1400	5	0,00	0,20	2,561913646	38	13	9455	0	249,2406104	249,491662
1405	5	0,00	0,20	2,569041284	38	13	9468	0	249,5734603	249,8259108
1410	5	0,00	0,20	2,555488841	38	13	9480	0	249,9072364	250,1570304
1415	5	0,00	0,20	2,521674402	38	13	9493	0	250,2392516	250,4824788
1420	5	0,00	0,20	2,468167248	38	12	9505	0	250,5668736	250,7998883
1425	5	-0,01	0,19	2,395674156	38	12	9517	0	250,8875438	251,1070716
1430	5	-0,01	0,18	2,3050256	38	12	9529	0	251,1987956	251,4020245
1435	5	-0,01	0,17	2,197162158	38	11	9540	0	251,49827	251,6829238
1440	5	-0,01	0,16	2,073121372	38	10	9550	0	251,7837306	251,9481237
1445	5	-0,01	0,15	1,934025248	38	10	9560	0	252,0530755	252,1961487
1450	5	-0,01	0,14	1,781068534	38	9	9569	0	252,3043487	252,4256863
1455	5	-0,01	0,13	1,615507872	38	8	9577	0	252,5357494	252,6355774
1460	5	-0,01	0,11	1,438651844	38	7	9584	0	252,7456401	252,8248073
1465	5	-0,01	0,10	1,251851946	38	6	9590	0	252,9325532	252,9924964
1470	5	-0,02	0,08	1,056494433	38	5	9596	0	253,0951968	253,137891
1475	5	-0,02	0,07	0,853993006	38	4	9600	0	253,2324591	253,2603552
1480	5	-0,02	0,05	0,645782243	38	3	9603	0	253,3434119	253,3593636
1485	5	-0,02	0,03	0,433311696	38	2	9605	0	253,4273135	253,4344953
1490	5	-0,02	0,02	0,218040543	38	1	9606	0	253,4836104	253,4854289

1495	5	-0,02	0,00	0,001432685	38	0	9606	0	253,5119388	253,5119388
1500	5	-0,02	-0,02	-0,215047843	38	-1	9605	0	253,5121249	253,510356

Tabella 21: Soluzione numerica del moto - pozzo cilindrico con dissipatore e $h = h_{max}$

Dai calcoli effettuati si sono ottenuti i seguenti risultati:

H_{max}	275 m
H_{min}	236 m
V_{max}	2,39 m/s

Tabella 22: Risultati con $h_{serbatoio} = h_{max}$ – con dissipatore

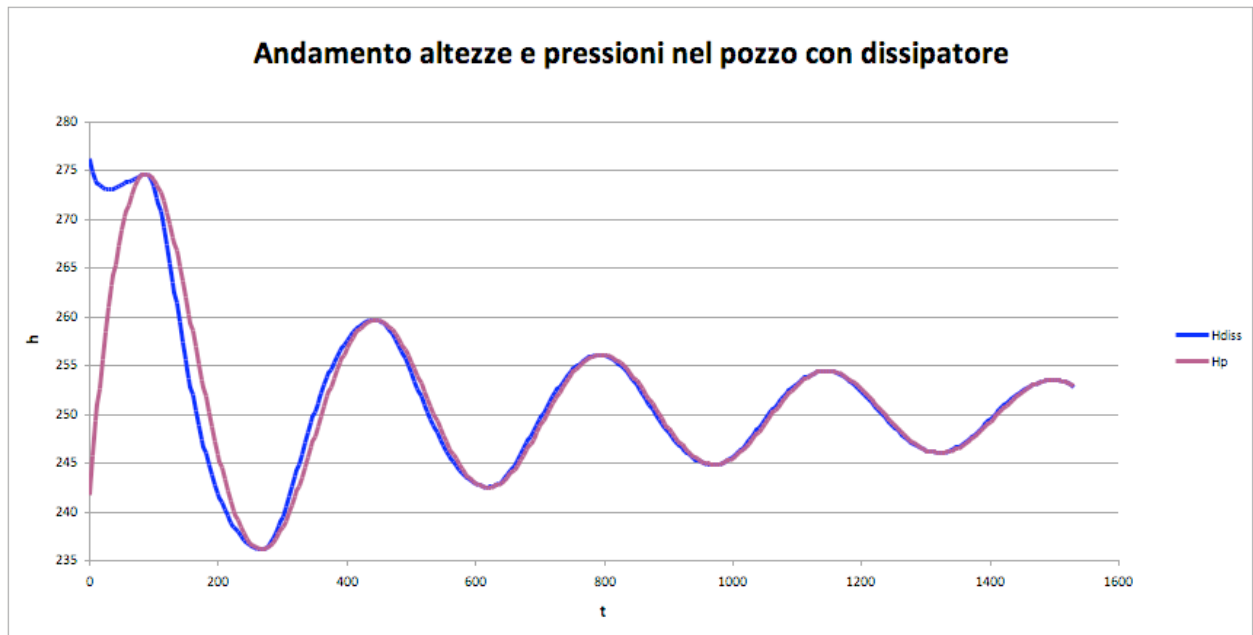


Fig. 14: Andamento h nel pozzo e pressione nella sezione del dissipatore con $h = h_{max}$

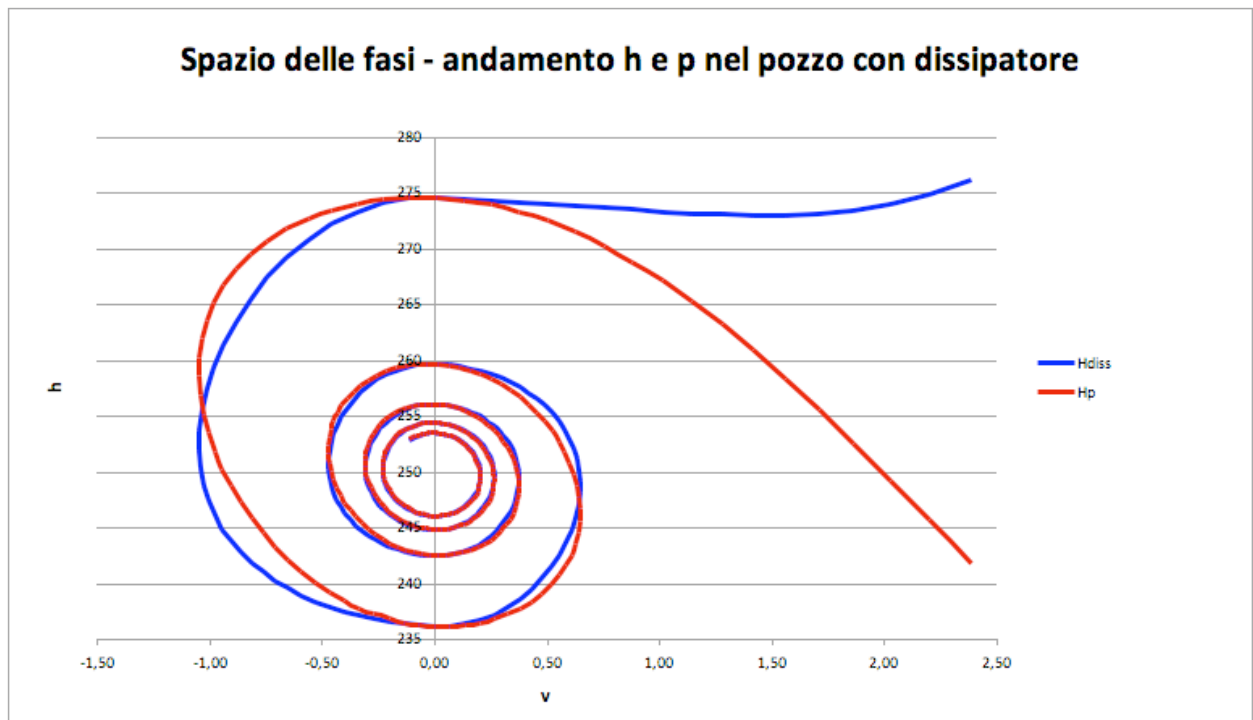


Fig. 15: Spazio delle fasi - andamento h nel pozzo e p nel dissipatore con $h = h_{max}$

Confronto tra le soluzioni

Imponendo il k_s come indicato precedentemente si è ottenuto un risultato che rende confrontabili le soluzioni della camera superiore / inferiore e dissipatore.

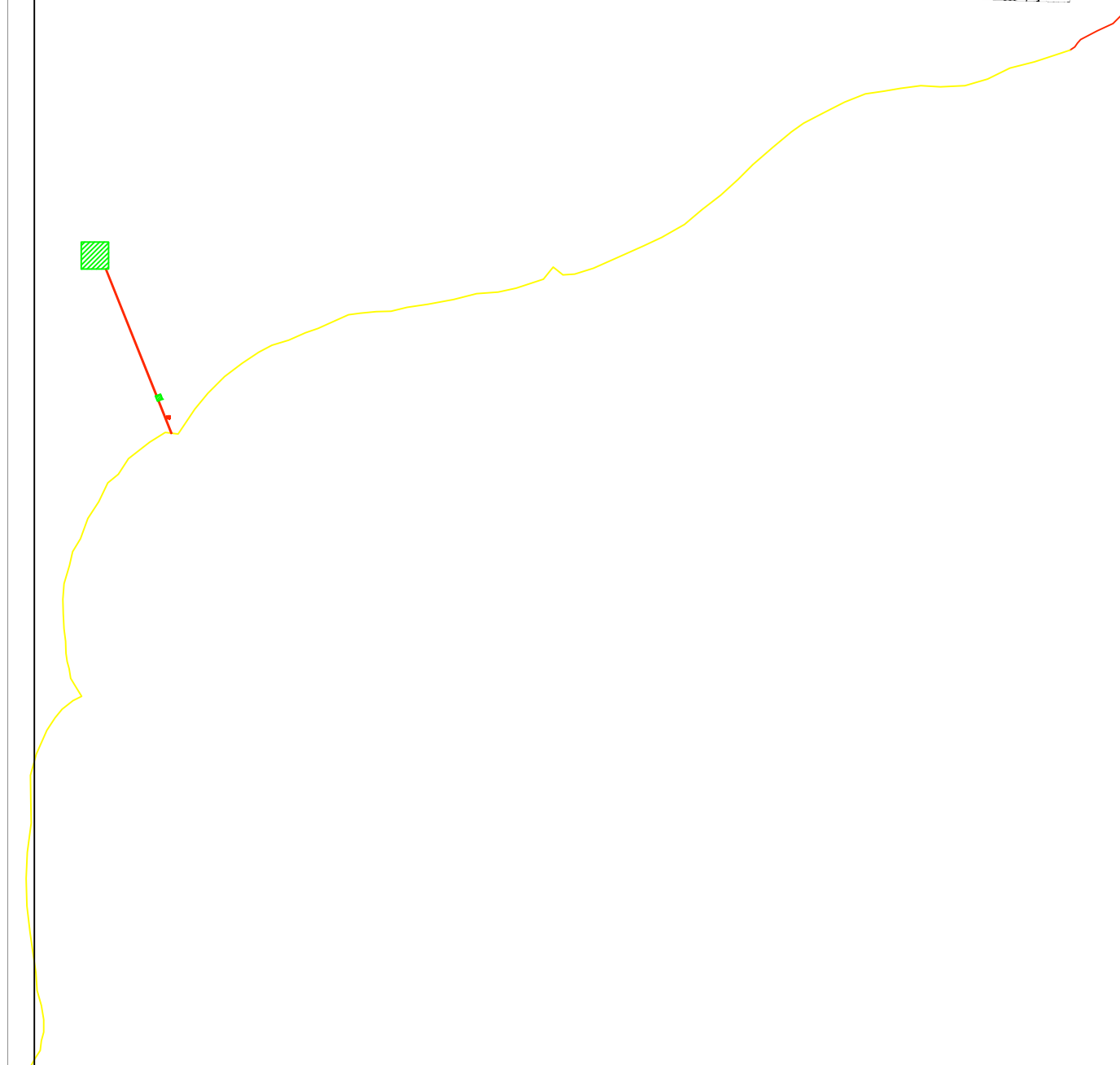
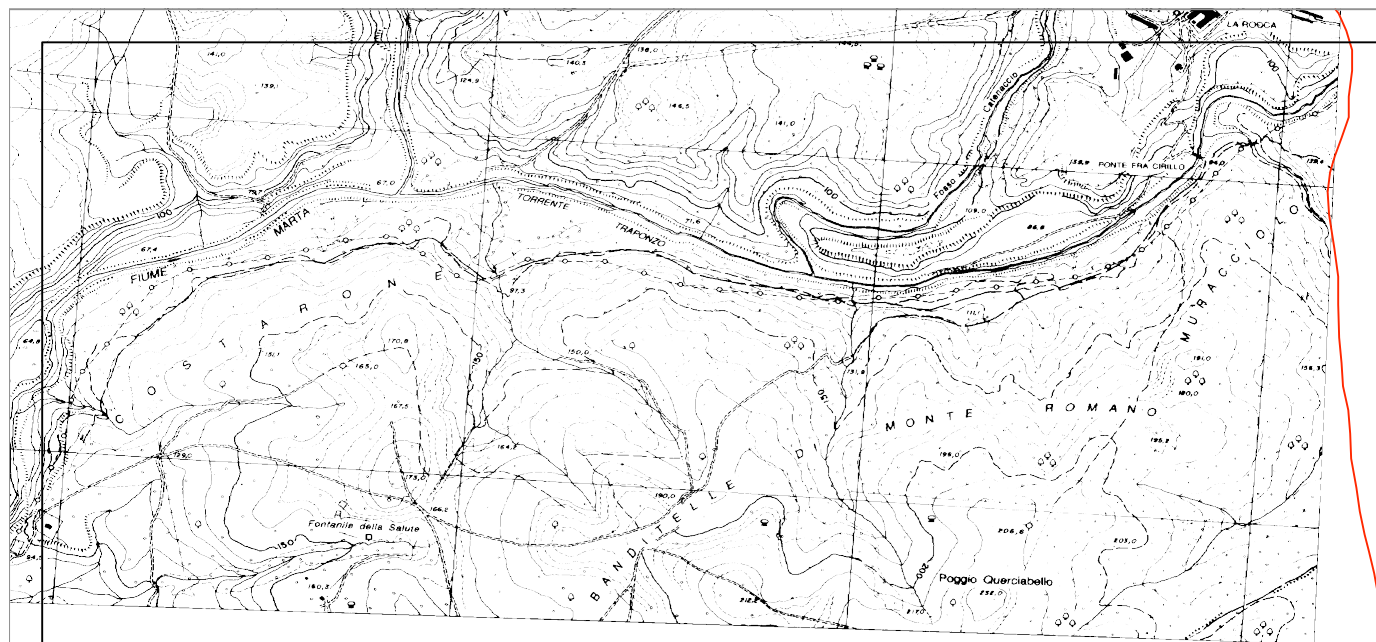
L'utilizzo della camera rende necessario lo scavo del terreno per posizionare una vasca superiore ed una inferiore. Il volume di scavo è calcolabile in questo modo, considerando un'altezza della vasca cautelativamente pari a 2 m:

$$W_{\text{camere}} = W_{\text{csup}} + W_{\text{cinf}} = 2 W_{\text{camera}} = 2 * [(\pi * (16/2)^2) * 2] = 2 * 402 = 804 \text{ m}^3 .$$

Se si inserisce il dissipatore non sarà necessario scavare le camere, però il pozzo avrà il diametro maggiorato di un metro per un'altezza pari a 272 m – 172 m, quindi il volume aggiuntivo da scavare sarà pari alla corona circolare di spessore 1 m:

$$W_{\text{diss}} = (272 - 172) * [\pi * ((7/2)^2 - (6/2)^2)] = 1048 \text{ m}^3 .$$

La soluzione con l'utilizzo delle camere risulta più conveniente dell'uso del dissipatore.



COMUNE DI VITERBO

PROGETTO DI UN IMPIANTO AD ACQUA FLUENTE AD ALTA CADUTA

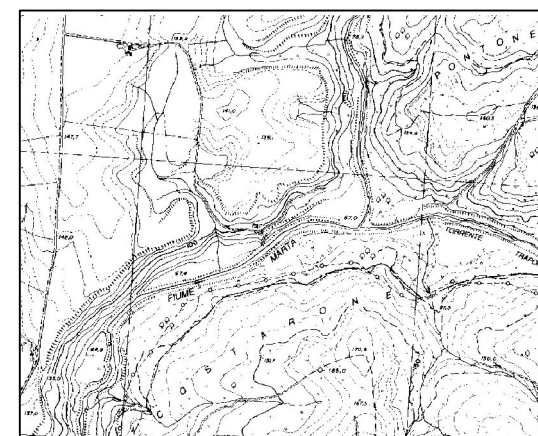


Tavola N:

A

Data :27/11/2007

Scala: 1:5000

Titolo tavola:

Inquadramento area

REV.	DATA	DESCRIZIONE VARIANTE
1		
2		
3		
4		

Gruppo: ING PRIDE 2

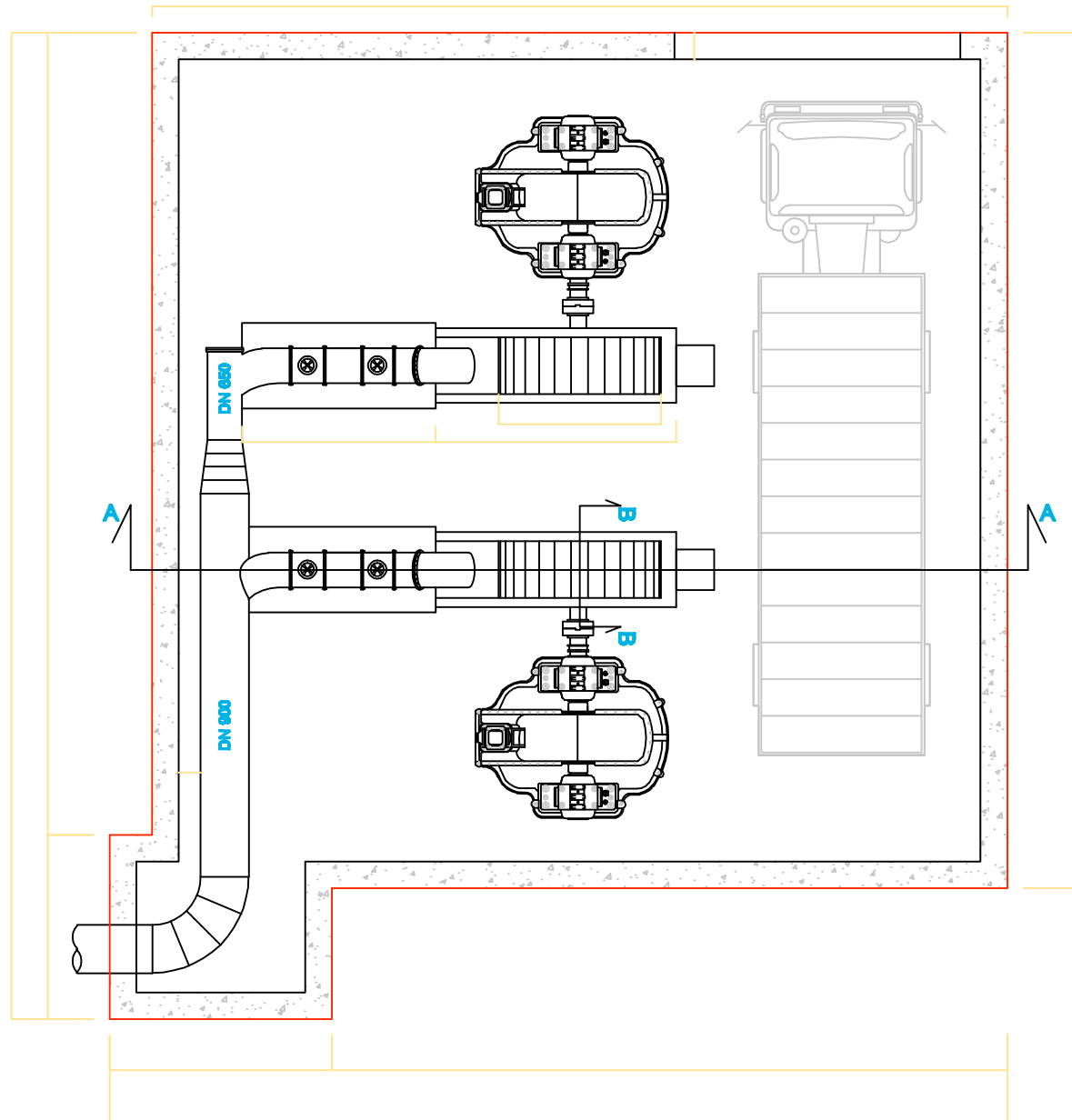
Dott. Ing. ir Andrea Berti

Dott. Ing. ir Mattia Campoese

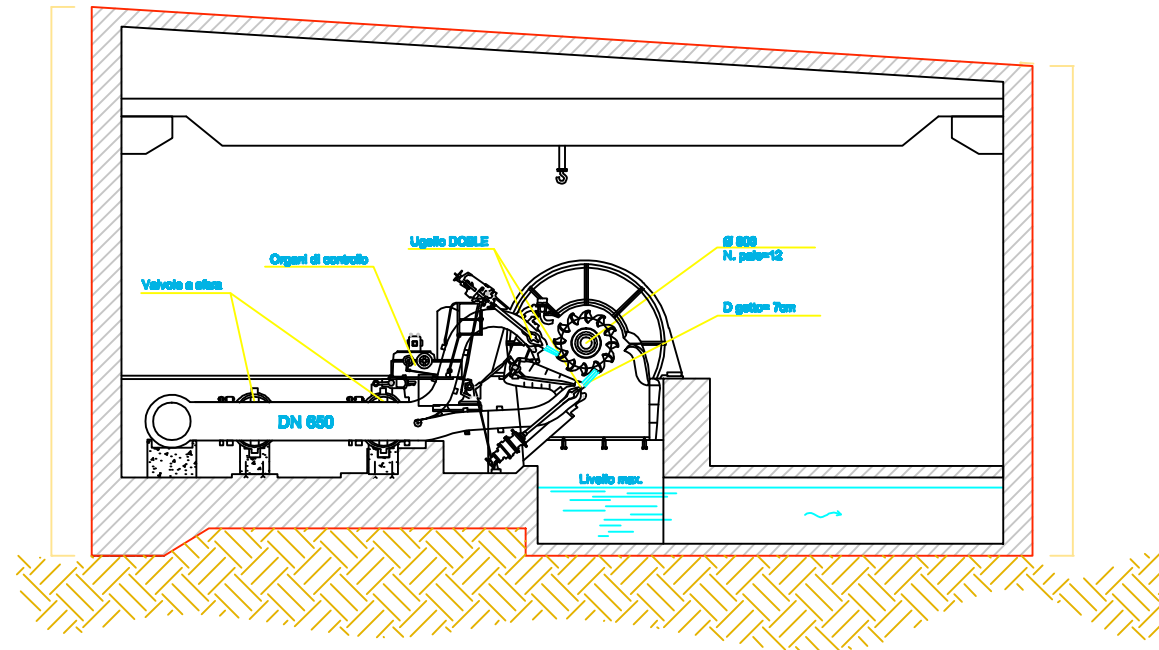
Dott. Ing. ir Marco Cianfanelli



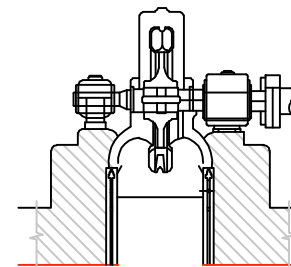
PIANTA LOCALE TURBINE



SEZIONE A-A

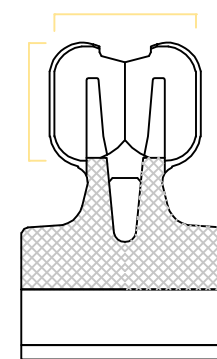


SEZIONE B-B



scala 1:25

SEZIONE PALA



scala 1:5



COMUNE DI VITERBO

**PROGETTO DI UN IMPIANTO AD ACQUA
FLUENTE AD ALTA CADUTA**



Tavola N°:

1

Data :27/11/2007

Scala: 1:50

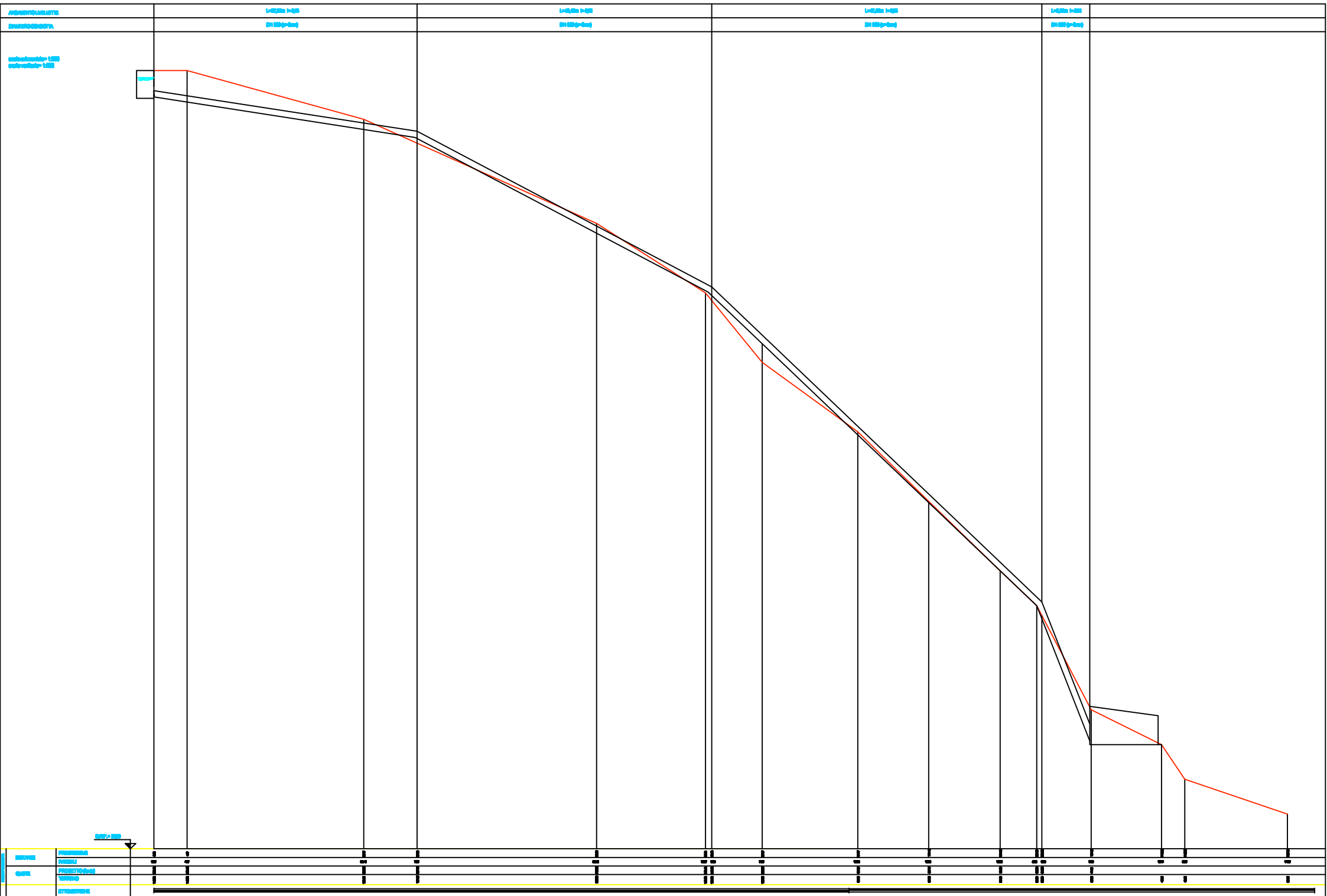
Titolo tavola:

Locale turbine

REV.	DATA	DESCRIZIONE VARIANTE
1		
2		
3		
4		

Gruppo: ING PRIDE 2
Dott. Ing. Ir Andrea Berti
Dott. Ing. Ir Mattia Campese
Dott. Ing. Ir Marco Cianfrilli





COMUNE DI VITERBO
PROGETTO DI UN IMPIANTO AD ACQUA FLUENTE AD ALTA CADUTA



Tavola N: **2**
 Data: 27/11/2007
 Scala: 1:50
 Titolo tavola:
Profilo longitudinale

REV.	DATA	DESCRIZIONE VARIANTE
1		
2		
3		
4		

Gruppo ING PRIDE 2
 Dott. Ing. V. Andrea Berti
 Dott. Ing. V. Mattia Cappolano
 Dott. Ing. V. Marco Chiarinelli

